



تاریخچه مدل‌های کاهیدگی و معیارهایی برای انتخاب مدل مناسب



تاریخچه مدل‌های کاهیدگی و معیارهایی برای
انتخاب مدل مناسب

پیشگفتار

امروزه نقش و اهمیت ضوابط، معیارها و استانداردها و آثار اقتصادی ناشی از به کارگیری مناسب و مستمر آنها در پیشرفت جوامع، تهیه و کاربرد آنها را ضروری و اجتناب ناپذیر ساخته است. نظر به وسعت دامنه علوم و فنون در جهان امروز، تهیه ضوابط، معیارها و استانداردها در هر زمینه به مجتمع فنی - تخصصی واگذار شده است.

با در نظر گرفتن مراتب فوق و با توجه به شرایط اقلیمی و محدودیت منابع آب در ایران تهیه استاندارد در بخش آب از اهمیت ویژه‌ای برخوردار بوده و از این رو طرح تهیه استانداردهای مهندسی آب کشور وزارت نیرو در جهت نیل به این هدف با مشخص نمودن رسته‌های اصلی مهندسی آب اقدام به تشکیل مجتمع علمی - تخصصی با عنوان کمیته‌ها و زیرکمیته‌های فنی نموده که وظیفه تهیه این استانداردها را به عهده دارند.

استانداردهای مهندسی آب با درنظر داشتن موارد زیر تهیه و تدوین می‌گردد :

- استفاده از تخصصها و تجارب کارشناسان و صاحبنظران شاغل در بخش عمومی و خصوصی
- استفاده از منابع و مأخذ معتبر و استانداردهای بین‌المللی
- بهره‌گیری از تجارب دستگاههای اجرایی، سازمانها، نهادها، واحدهای صنعتی، واحدهای مطالعه، طراحی و ساخت
- ایجاد هماهنگی در مراحل تهیه، اجرا، بهره‌برداری و ارزشیابی طرحها
- پرهیز از دوباره کاریها و اتلاف منابع مالی و غیر مالی کشور
- توجه به اصول و موازین مورد عمل مؤسسه استاندارد و تحقیقات صنعتی ایران و سایر مؤسسات معتبر تهیه‌کننده

استاندارد

آگاهی از نظرات کارشناسان و صاحبنظرانی که فعالیت آنها با این رشتہ از مهندسی آب مرتبط می‌باشد موجب امتنان کمیته فنی ۱-۱۳ (لرزو خیزی و مهندسی زمینلرزو) خواهد بود.

اعضای کمیته

کارشناسان کمیته (لرزه‌خیزی و مهندسی زمینلرزه) که در تهیه این نشریه همکاری داشته‌اند عبارتند از :

آقای مهندس مجید بهنام	از شرکت مهندسی مشاور مهاب قدس	لیسانس مهندسی معدن
آقای مهندس ابراهیم مالکی	از شرکت مهندسی مشاور مهاب قدس	فوق لیسانس ژئوفیزیک

سایر کارشناسانی که از کمیته فوق در بررسی این نشریه همکاری داشته‌اند عبارتند از :

آقای مهندس علی اکبر اسلامی	از مؤسسه بین المللی زلزله‌شناسی	فوق لیسانس ژئوفیزیک
آقای دکتر منوچهر قریشی	از سازمان زمین‌شناسی کشور	دکترای لرزه زمین‌ساخت
آقای مهندس علی اکبر معین فر	آزاد	فوق لیسانس مهندسی سازه و زلزله
آقای دکتر عباس مهدویان	از شرکت مهندسی مشاور مهاب قدس	دکترای زلزله‌شناسی
آقای مهندس احمد نادرزاده	از طرح مطالعات زلزله تهران بزرگ	فوق لیسانس مهندسی سازه و زلزله
خانم مهندس مهیار نوربخش	از طرح تهیه استانداردهای مهندسی	فوق لیسانس ژئوتکنیک
آب کشور		

فهرست مطالب

<u>عنوان</u>	<u>صفحه</u>
-۱ مقدمه	۱
-۲ تاریخچه مدل کاهیدگی	۳
-۳ تغییرات بنیادی در مدل کاهیدگی	۱۴
-۴ مدل کاهیدگی بهنگام شده جهان	۲۳
-۴ مدل کاهیدگی آبراهامسون و سیلو، (۱۹۹۷)	۲۳
-۴ مدل آمبرسیز، سیمپسون و بومر (۱۹۹۶)	۲۵
-۴ بور، جوینر و فومال (۱۹۹۷)	۲۶
-۴ مدل کاهیدگی کمپل، (۱۹۹۷)	۲۸
-۴ مدل کاهیدگی صدیق، چنگ، اگان، مکدیسی و یانگز (۱۹۹۷)	۳۱
-۴ مدل اسپودیک و همکاران، (۱۹۹۷)	۳۲
-۴ مدل کاهیدگی یانگز و همکاران (۱۹۹۷)	۳۳
-۴ مدل کاهیدگی تورو، آبراهامسون و اشنايدر (۱۹۹۷)	۳۴
-۴ مدل آتکینسون و بور (۱۹۹۷)	۳۵
-۵ کاربرد مدلهای کاهیدگی و دسته‌بندی آنها	۳۸
-۵ برآورد دقیق پارامترهای جنبش نیرومند زمین	۳۸
-۵ ارائه دسته‌بندیهایی برای انتخاب مناسب‌تر مدلهای کاهیدگی مختلف	۳۸
-۵ ۱-۲-۵ پارامترهای در نظر گرفته شده در مدلهای کاهیدگی	۴۲
-۵ ۲-۲-۵ عدم یقین در محاسبات	۴۲
-۵ ۳-۲-۵ روش برآش داده‌های جنبش نیرومند زمین	۴۲

«مدل کاهیدگی پارامترهای جنبش نیرومند زمین»

- ۱ مقدمه :

پارامترهای انتشار و تأثیر پراکنش^۱ موج، آهنگ کاهش هندسی^۲ و آهنگ کاهش میرایی غیر الاستیک زمین را در مسیر موج از چشمۀ لرزه‌ای تا ساختگاه موردنظر مشخص می‌کند. متغیر مستقل اصلی که مشخص‌کننده این پارامترها می‌باشد، فاصله است. از آنجا که گسیختگی همراه با زمینلرزه می‌تواند دهها کیلومتر گسترش یابد، لذا استفاده از چشمۀ لرزه‌زا در تخمین پارامترهای جنبش نیرومند زمین تأثیر بسیار زیادی دارد. پژوهشگران این فواصل را بصورتهای مختلف نشان داده شده در شکل ۱- در نظر گرفته‌اند که برای فواصل بسیار نزدیک (کمتر از ده کیلومتر) می‌تواند در تخمین بیشینه پارامترهای جنبش نیرومند زمین باعث بروز تفاوت‌های چشمگیری شود. عوامل دیگری نظیر سازوکار چشمۀ لرزه‌زا، زمین‌شناسی ساختگاه و توپوگرافی ساختگاه نیز می‌توانند در تخمین پارامترهای جنبش نیرومند زمین تأثیر داشته باشد. اولین مدل‌های کاهیدگی پارامترهای جنبش نیرومند زمین دارای شکل کلی زیر بودند:

$$Y = C_1 e^{C_2 M} / (R + C_3)^{C_4}$$

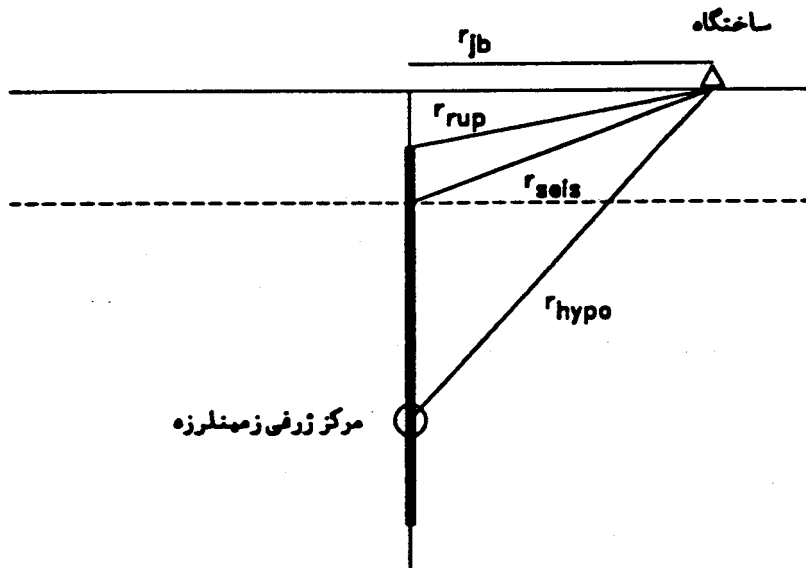
در مدل فوق C_1, C_2, C_3 و C_4 ضرایب، M بزرگای زمینلرزه و R فاصله کانونی بر حسب کیلومتر می‌باشد. در این مدل ساده تنها به بزرگای زمینلرزه و فاصله چشمۀ نقطه‌ای لرزه‌زا تا ساختگاه موردنظر توجه شده است. در صورتی که در مدل‌های اخیر شکل کلی مدل کاهیدگی بصورت زیر می‌باشد:

$$\ln(Y) = C_1 + C_2 M + C_3 \ln\{R^{\gamma} + [C_4 \exp(C_5 M)]^{\gamma}\}^{1/\gamma} + [C_6 + C_7 \ln(R) + C_8 M] F + [C_9 - C_{10} \ln(R)] S_{SR} + [C_{11} + C_{12} \ln(R)] S_{HR} + \sigma$$

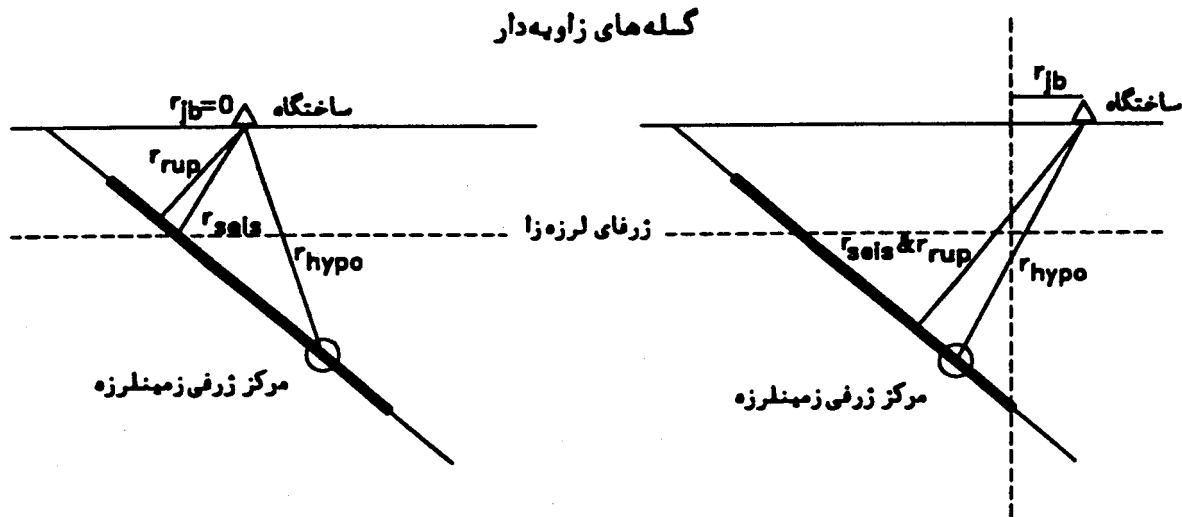
که در مدل فوق C_1 و $\dots C_{12}$ ضرایب ثابت، M بزرگای زمینلرزه و R فاصله چشمۀ لرزه‌زا تا ساختگاه بر حسب کیلومتر، F ضربی برای ساز و کار چشمۀ لرزه‌زا، S_{SR} ضربی برای سنگهای نرم ساختگاه، S_{HR} ضربی برای سنگهای سخت ساختگاه و σ خطای محاسبات مدل برای سطح ۸۴ درصد می‌باشد.

همانطوری که ملاحظه می‌شود در مدل‌های اخیر کوشش شده است که رابطه‌ای بین ساز و کار زمینلرزه، زمین‌شناسی ساختگاه و میزان خطای محاسبات مدل با پارامترهای جنبش نیرومند زمین ارائه گردد.

گله‌های قائم



گله‌های زاویه‌دار



r_{jb} : نزدیکترین فاصله افقی از تصویر قائم گسیختگی

r_{rup} : نزدیکترین فاصله از سطح گسیختگی

r_{seis} : نزدیکترین فاصله از سطح گسیختگی لرزه‌زا

r_{hypo} : فاصله از کانون زمینلرزه

شکل ۱ - مدل لرزه‌زمینساختی چشمی لرزه‌ای خطی در نظر گرفته شده برای مدل‌های مختلف کامپیگی

پارامترهای جنبش نیرومند زمین (برگرفته از آبراهاوسن و شدلر ۱۹۹۷)

-۲ تاریخچه مدل کاهیدگی :

تا پیش از پژوهش نیومن^۱ در سال ۱۹۵۴، اطلاعاتی در دست نمی‌باشد. نامبرده مدل کاهیدگی بیشینه شتاب جنبش نیرومند زمین را بر پایه زمینلرزه‌های آمریکا (کالیفرنیا) و شتابنگاشتهای آنها بصورت زیر ارائه نمود:

$$\log a = 4/79 - 1/92 \log D$$

این رابطه مستقل از بزرگای زمینلرزه می‌باشد و برای زمینلرزه‌های ویرانگر در نظر گرفته شده است و D فاصله دستگاه شتابنگار تا مرکز سطحی زمینلرزه‌ها می‌باشد.

پس از این مدل کاهیدگی از سال ۱۹۶۰ تا ۱۹۷۰ مدل‌های کاهیدگی جنبش نیرومند زمین توسط استوا و روزنبلو^۲ برای زمینلرزه‌های آمریکا، بلوم^۳ برای زمینلرزه‌های کالیفرنیای آمریکا، میلن و داونپورت^۴ برای زمینلرزه‌های کانادا و آمریکا و استوا و هندرتون^۵ برای زمینلرزه‌های آمریکا تهیه گردید. مدل‌های ارائه شده خیلی نزدیک به یکدیگر بوده و فاصله کانونی و بزرگای زمینلرزه‌ها تنها پارامترهای بکار گرفته شده در این مدلها بودند. ویژگیهای این مدلها در جدول شماره ۱ ارائه گردیده است.

در سالهای بین ۱۹۷۰ تا ۱۹۸۰ و به ویژه پس از رویداد زمینلرزه سن فرناندوی کالیفرنیا مدل‌های کاهیدگی بیشتری با ثبت نگاشتهای زیادی از شتاب این زمینلرزه ارائه گردید. از آنجمله می‌توان به پژوهش‌های کلود و پرز^۶، داونپورت^۷، دنووان^۸، استوا و ویلارد^۹، مک‌گایر^{۱۰}، ارفال و لاهود^{۱۱}، کمپل و دوک^{۱۲}، سید و همکاران^{۱۳} تریفوناک^b ۱۹۷۶، گورپینا و ساوی^{۱۴}، مک‌گایر^a ۱۹۷۷، دنووان و بورنستین^{۱۵}، مک‌گایر^b ۱۹۷۸، کرنل و همکاران^{۱۶}، اسپینوسا^{۱۷} اشاره نمود. در تمامی مدل‌های ارائه شده بیشتر از داده‌های زمینلرزه‌ای و شتابنگاری با ختر آمریکا بویژه کالیفرنیا استفاده شده است. در مدل‌های ارائه شده از بزرگای زمینلرزه و فاصله کانونی زمینلرزه تا ایستگاههای ثبت‌کننده شتاب (یا دیگر پارامترها) استفاده شده است. بزرگای زمینلرزه‌های بکار گرفته شده بین $M_s^{4/0}$ تا $M_s^{7/7}$ می‌باشد و فاصله دستگاههای شتابنگار از کانون زمینلرزه بین ۵ تا حداقل ۳۰۰ کیلومتر در نظر گرفته شده است. ویژگیهای این مدلها در جدول شماره ۱ ارائه گردیده است.

1- Newman

2- Esteva & Rosenblueth - 1964

3- Blume - 1965

4- Milne & Davenport - 1969

5- Esteva & Hendron - 1969

6- Cloud & Perez - 1971

7- Davenport - 1972

8- Donovan - 1973_a - 1973_b - 1973_c - 1973_d

9- Esteva & Villavered - 1974

10- Mc Guire - 1974

11- Orphal & Lahoud - 1974

12- Campbell & Duke - 1974_a - 1974_b

13- Seed et al - 1976_b

14- Gurnina & Sovy - 1977

15- Donovan & Bornstein - 1978

16- Cornell et al - 1979

17- Espinosa - 1979

جدول ۱ - ویژگیهای مدل‌های کاهیدگی شتاب جنبش زمین از سال ۱۹۵۴ تا سال ۱۹۸۰

نام پژوهشگران	سال میلادی	نوع زمین	سازوکار	بزرگا	فاصله بر حسب کیلومتر	مدل کاهیدگی شتاب جنبش زمین	ملاحظات
New Man	۱۹۵۴	کلیه زمینها	کلیه ساز و کارها	مستقل از بزرگا	"D"	$\log a = 4/79 - 1/92 \log D$	برای زمینلرزه‌های بزرگتر از $M \geq 5$ (معمولًاً برای بزرگای طراحی) ژرفای کانونی ۱۵ کیلومتر برای زمینلرزه‌های طراحی در نظر گرفته شده است. برای زمینلرزه‌های کالیفرنیا و ژاپن پریود اصلی ساختگاه T_G
Gutenberg & Richter	۱۹۵۶	زمینهای سنگی	کلیه ساز و کارها	m_b یا M_s	$D \geq 15/0$	$\log a_0 = -2/1 + 0/81 M - 0/027 M^2$ a = $a_0 F_a$ (۱)	
Kanay	۱۹۵۷	کلیه زمینها	کلیه ساز و کارها	M	R	$a = \frac{0/0051}{T_G} 10^{0/61} M - P \log R + Q$ $P = 1/66 + 3/60 /R$ $Q = 0/167 - 1/83 /R$ $a = \left(\frac{a_0 1/25}{1+D/Y}\right)^n$, $\log a_0 = -2/1 + 0/81 M - 0/027 M^2$ $n = (1 + (1/2/5 T_p))$	
Benioff	۱۹۶۲	زمینهای سنگی	کلیه ساز و کارها	M	$D \geq 19/2$		شتاب بر روی سنگ کف $Y_0 = 76/8 \text{ km}$ پریود غالب شتاب بر روی پی سنگ می‌باشد.

ادامه جدول ۱ - ویژگیهای مدل‌های کاهیدگی شتاب جنبش زمین از سال ۱۹۵۴ تا سال ۱۹۸۰

نام پژوهشگران	سال میلادی	نوع زمین	سازوکار	بزرگا	فاصله بر حسب کیلومتر	مدل کاهیدگی شتاب جنبش زمین	ملاحظات
Esteva & Rosenblueth	۱۹۶۴	زمینهای سخت	کلیه سازوکارها	m_b یا M_s	$R \geq 15\text{ km}$	$a = 2000 e^{-0.8M} \cdot R^{-2}$	برای زمینهای سنگی $a = 110 e^{-0.8M} \cdot R^{-1/6}$
Wiggins	۱۹۶۴	کلیه زمینها	کلیه سازوکارها	m_b یا M_s	فاصله کانونی R (بر حسب مایل)	$\frac{a}{v} = (82/6 - 7/59) M^{-0.36} R$	ρ_s دانسیته خاک V_s سرعت برخش خاک فوت ثانیه R بر حسب مایل V بر حسب اینچ ثانیه a بر حسب g ⁻³ (گال)
Housner	۱۹۶۵	برای زمینهای سخت	کلیه سازوکارها	m_b یا M_s	فاصله نزدیک به مرکز سطح کیلومتر	ارائه نمودار (شکل ۲)	از روی مساحتی برای بزرگای M_8, M_7, M_6, M_5 و M_4 فاکتور ساختگاه در شکلهای ۳ و ۴ ارائه شده است.
Blume	۱۹۶۵	کلیه زمینها	کلیه سازوکارها	$M_{6.0}-8/5$	R	$a = a_0 g (1 + \frac{D^2}{h^2})^{-1}$	Tp پریود غالب شتاب بر روی پی سنگ می باشد.
Kanai (۱۹۶۶)	۱۹۶۶	زمین سنگی	کلیه سازوکارها	m_b یا M_s	R	$\log a = 0.61 M - (1/66 + \frac{3/6}{R}) \times \log R$ + (0.167 - $\frac{1/83}{R}$ + 0.698 - 0.5 log Tp)	h ژرفای کانونی بر حسب کیلومتر
Krishna & Chandra	۱۹۶۹	زمین سخت	کلیه سازوکارها	m_b یا M_s	D	$a = \frac{4591 \times 10^6 M^{-5}}{h + 7/2 \times 10^6 M^{-5}} e^{-0.26 (D/h)^{2/3}}$	فاصله از مرکز سطحی زمین‌برداره

ادامه جدول ۱- ویژگیهای مدل‌های کاهیدگی شتاب جنبش زمین از سال ۱۹۵۴ تا سال ۱۹۸۰

نام پژوهشگران	سال میلادی	نوع زمین	سازوکار	بزرگا	فاصله بر حسب کیلومتر	مدل کاهیدگی شتاب جنبش زمین	ملاحظات
Milne & Davenport	۱۹۶۹	کلیه زمین‌رژه‌ها	کلیه سازوکارها	m_b یا M_s	D	$a = \frac{e^{0.0069} e^{1/54M}}{1/1 e^{1/1M} + D^2}$	برای زمین‌رژه‌های خیلی نزدیک $e^{0.0069} e^{1/54M}$
Tamura, Migukoshi & ono	۱۹۶۹	کلیه زمین‌رژه‌ها	کلیه سازوکارها	m_b یا M_s	D	$\log a = -3/17 + M - 1/73 \log D$	
Cloud & Perez	۱۹۶۹	کلیه زمین‌رژه‌ها	کلیه سازوکارها	m_b یا M_s	D	$\log a = 6.0 - 2 \log(0.625 D + 43)$	برای حد پایین
Ballard	۱۹۶۹	زمین سنگی	کلیه سازوکارها	m_b یا M_s	R	$a = 132.0 e^{0.058M} (R + 25)^{-1/52}$	برای حد بالا
Esteva	۱۹۷۰	زمین سخت	کلیه سازوکارها	M_s یا m_b	R	$a = 1/254 e^{0.08M} (R + 25)^{-2}$	
Mickey	۱۹۷۱	کلیه زمینهای	کلیه سازوکارها	M_s یا m_b	R	$\log a = 1/325 + 0.466 M - 1/41 \log R$	برای $15 \leq R \leq 25$ بکار نمی‌رود.
Denham & Small	۱۹۷۱	زمینهای غیرمتراکم	کلیه سازوکارها	M_s یا m_b	R	$\log a = 2/80 + 0.20 M - 1/10 \log R$	برای استرالیا کاربرد دارد.
Schnabel & Seed	۱۹۷۱	زمین سنگی	کلیه سازوکارها	M_s یا m_b	از گسل مسیب	شکل ۵	ارائه منحنی برای بزرگای $M_{5/2}$, $M_{8/5}$, $M_{7/6}$, $M_{6/5}$, $M_{5/6}$

ادامه جدول ۱- ویژگیهای مدل‌های کاهیدگی شتاب جنبش زمین از سال ۱۹۵۴ تا سال ۱۹۸۰

نام پژوهشگران	سال میلادی	نوع زمین	سازوکار	بزرگا	فاصله بر حسب کیلومتر	مدل کاهیدگی شتاب جنبش زمین	ملاحظات
Davenport	۱۹۷۲	کلیه زمینها	کلیه سازوکارها	M_s یا m_b	$R \geq 15$	$\log a = 274 e^{0.8M} - R^{-1/64}$	برای زمینلرزه با فاصله کافی که کیلومتر $15 \geq R$ کاربرد دارد.
Donovan	۱۹۷۳	سنگی	کلیه سازوکارها	M_s یا m_b	R	$a = 1080 e^{0.5M} (R+25)^{-1/32}$	نامبرده دو مدل ارائه نموده است که مدل پایینی اصلاح شده مدل بالایی است.
Esteva & Villaverde	۱۹۷۳	کلیه زمینها	کلیه سازوکارها	M_s یا m_b	R	$a = 1080 e^{0.5M} (R+25)^{-1/65}$	$a = 5600 e^{0.8M} (R+40)^{-2}$
Orphal & Lahoud	۱۹۷۴	سنگی و آبرفتی	کلیه سازوکارها	M_s یا m_b	$R \geq 15$	$a = 64/75 \times 10^{-0.4M} R^{-1/39}$	برای زمینلرزه؛ کیلومتر $15 \geq R$ کاربرد دارد.
Campbell & Duke	۱۹۷۴ (a)	کلیه زمینها	کلیه سازوکارها	$4/5 \geq M_s < 8/5$	$15 < R < 160$	$a = 3/31 \times 10^{-3} e^{M(0.33M-1.47)} \times R^{-3} \times S$	ضریب S برای ساختمان بر روی سنگ کف $1/80$ است. ضریب S برای ساختمان بر روی سنگ رسوبی $3/63$ است. ضریب S برای ساختمان بر روی آبرفت با ژرفای کمتر از 60 متر $3/74$ است. ضریب برای ساختمان بر روی آبرفت با ژرفای بیش از 60 متر $5/12$ است.

ادامه جدول ۱- ویژگیهای مدل‌های کاهیدگی شتاب جنبش زمین از سال ۱۹۵۴ تا سال ۱۹۸۰

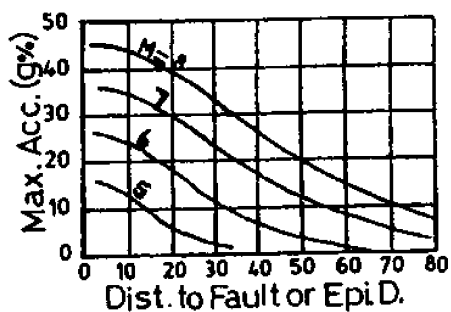
نام پژوهشگران	سال میلادی	نوع زمین	سازوکار	بزرگا	فاصله بر حسب کیلومتر	مدل کاهیدگی شتاب جنبش زمین	ملاحظات
Campbell & Duke	۱۹۷۴ (b)	زمینهای مختلف	کلیه ساز و کارها	۴/۵ < M < ۸/۵	$S \quad 15 \leq R \leq 16^{\circ}$	$a = ۳/۱۳ \times ۱^{\circ} e^{M(0.۳۳M - 1/۴۷)} \times R^{3/۷۹}$	ضریب S برای ساختگاه بر روی سنگ کف $R^{0/۴۶} \quad S = 0/۵۷$ است.
Bath	۱۹۷۵	سنگی و آبرفتی	کلیه ساز و کارها	M	R	$a = ۱/۰۳ h^{0/۶} \times ۱^{\circ} ۰/۵M \times R^{-1/۵}$	ضریب S برای ساختگاه سنگهای رسوبی $R^{0/۵۱} \quad S = ۱/۰۲$ است.
Trifunac & Brady	۱۹۷۶	کلیه زمینها	کلیه ساز و کارها	M	R	$\log a = M + \log A_o(R) - \log a_o$	ضریب S برای ساختگاه آبرفتی با ژرفای کمتر از 6° متر $S = 0/۳۷ \quad R^{0/۸۱}$ است.
Seed et al	۱۹۷۶	کلیه زمینها	کلیه ساز و کارها	M	R	$A = aR^{-c}$	ضریب S برای ساختگاه آبرفتی با ژرفای بیش از 6° متر $S = 0/۶۵ \quad R^{0/۷۴}$ است. ژرفای کانونی (کیلومتر) h برای زمینهای مختلف بر طبق جدول شماره دو شتاب از روی منحنی نمایش برآورده شود.

ادامه جدول ۱- ویژگیهای مدل‌های کاهیدگی شتاب جنبش زمین از سال ۱۹۵۴ تا سال ۱۹۸۰

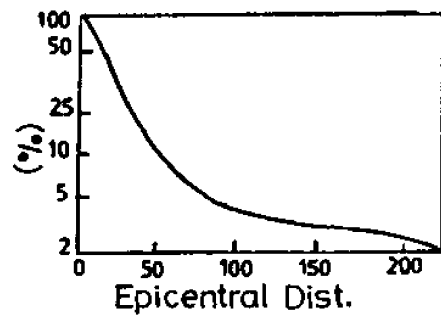
نام پژوهشگران	سال میلادی	نوع زمین	سازوکار	بزرگا	فاصله بر حسب کیلومتر	مدل کاهیدگی شتاب جنبش زمین	ملاحظات
Singh & Paul	۱۹۷۷	سنگی و آبرفتی	کلیه سازوکارها	M	R	$a = 13/24 \cdot 10^{-0.5M} \times R^{-1/4}$	در این مدل برای ساختگاه سنگی توان برابر $1/4$ - و برای ساختگاه آبرفتی $-1/37$
Mc Guire	۱۹۷۷	سنگی و آبرفتی	کلیه سازوکارها	M	R	$a = 472 \cdot 10^{-0.278M} (R + 25)^{-1/30.1}$	برای فاصله $R \leq 15\text{ m}$ قابل استفاده نمی‌باشد.
Donovan & Bornstein	۱۹۷۸	کلیه زمینها	کلیه سازوکارها	$4/5 \leq M \leq 7/7$	$10 \leq R \leq 200$	$a = 2/198 \times 10^3 R^{-2/1} \times e^{(0.046 + 0.193 \ln R)M} \times (R + 25)^{-2/515+0.211 \ln R}$	محاسبه خطای محاسباتی بصورت منحنی ارائه شده است. $(\sigma \ln a)$
Mc Guire	۱۹۷۸	کلیه زمینها	کلیه سازوکارها	$4/5 \leq M \leq 7/7$	$10 \leq R \leq 200$	$a = 0.0306 e^{0.89M} \times R^{-1/17} \times e^{-0/20.5}$	$\sigma \ln a = 0.62$
Cornell et al	۱۹۷۹	کلیه زمینها	کلیه سازوکارها	$3/0 \leq M \leq 7/7$	$20 \leq R \leq 200$	$a = 0.863 e^{0.86M} (R + 25)^{-1/8}$	این مدل برای غرب آمریکا تهیه شده است $\sigma \ln a = 0.57$
Espinosa	۱۹۷۹	کلیه زمینها	کلیه سازوکارها	$4/0 \leq M \leq 9/2$	$5 \leq R \leq 300$	$V = 6/17 \times 10^{-4} e^{2/3M} \times R^{-1/35}$	(این مدل برای سرعت ارائه شده است)
Boore et al	۱۹۸۰	کلیه زمینها	کلیه سازوکارها	$5/0 \leq M_L \leq 5/7$	$5 \leq R \leq 50$	$a = 1/5 BR^{-0/9}$	محاسبه خطای محاسباتی بصورت منحنی ارائه شده است $(\sigma \ln a)$
				$6/0 \leq M_L \leq 6/4$	$10 \leq R \leq 50$	$a = 10/0 R^{-1/2}$	
				$7/1 \leq M_L \leq 7/6$	$40 \leq R \leq 100$	$a = 398 R^{-2/0}$	

از سال ۱۹۸۰ به بعد به سازوکار زمینلرزه‌ها و زمین‌شناسی ایستگاههای شتابنگار توجه بیشتر شده است، بطوریکه عملاً به عنوان ضریبی در مدل‌های کاهیدگی جنبش نیرومند زمین داخل شده است.

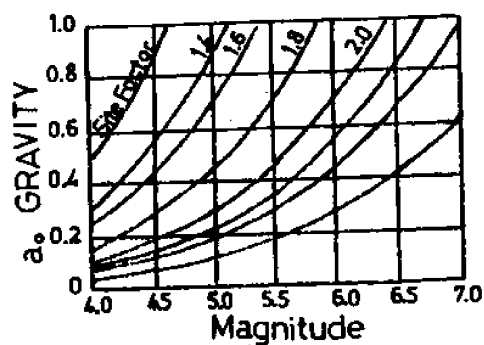
یک رهنمود برای مدل‌های کاهیدگی شتاب، سرعت، جابه‌جایی بر حسب فاصله و بزرگی



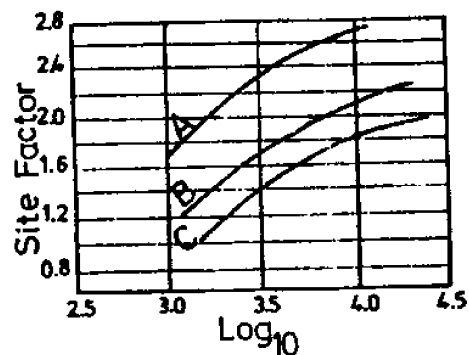
شکل ۲ - بیشینه شتاب جنبش نیرومند زمین
بر حسب فاصله



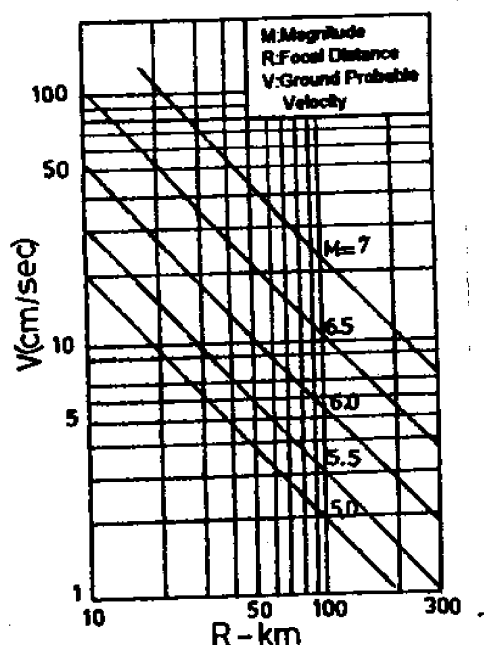
شکل ۱ - مدل کاهیدگی شتاب بر حسب فاصله کنونی



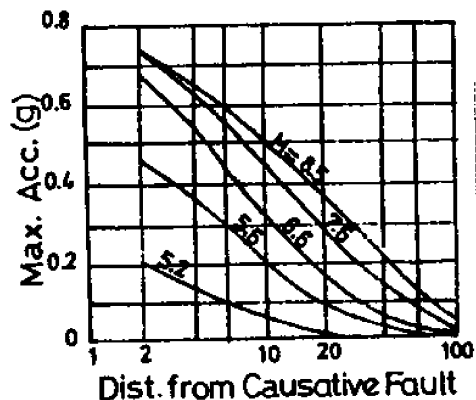
شکل ۴ - تعیین شتاب در مرکز سطحی زمینلرزه



شکل ۳ - تعیین شاخص ساختگاه



شکل ۶ - احتمال بیشینه سرعت جنبش نیرومند زمین



شکل ۵ - متوسط مقدار بیشینه شتاب جنبش
نیرومند زمین بر روی سنگ

شکلهای ۱ تا ۶ مربوط به جدول ۱

جدول پیوست شماره ۲ جدول شماره ۱

نسبت به فاصله R تا مرکز سطحی زمین‌رژه $\log_{10} A_e(R)$

$-\log_{10} A_e(R)$	(R)km	$-\log_{10} A_e(R)$	R(km)	$-\log_{10} A_e(R)$	R (km)
۴/۳۳۶	۳۷°	۳/۲۲°	۱۴°	۱/۴۰°	°
۴/۳۷۶	۳۸°	۳/۲۷۹	۱۵°	۱/۵۰°	۵
۴/۴۱۴	۳۹°	۳/۳۲۸	۱۶°	۱/۶۰۵	۱۰
۴/۴۵۱	۴۰°	۳/۳۷۸	۱۷°	۱/۷۱۶	۱۵
۴/۴۸۵	۴۱°	۳/۴۲۹	۱۸°	۱/۸۲۳	۲۰
۴/۵۱۸	۴۲°	۳/۴۸°	۱۹°	۱/۹۰۰	۲۵
۴/۵۴۹	۴۳°	۳/۵۳°	۲۰°	۲/۰۷۸	۳۰
۴/۵۷۹	۴۴°	۳/۵۸۱	۲۱°	۲/۱۹۹	۳۵
۴/۶۰۷	۴۵°	۳/۶۳۱	۲۲°	۲/۳۱۴	۴۰
۴/۶۳۴	۴۶°	۳/۶۸°	۲۳°	۲/۴۲۱	۴۵
۴/۶۶۰	۴۷°	۳/۷۲۹	۲۴°	۲/۵۱۷	۵۰
۴/۶۸۵	۴۸°	۳/۷۷۹	۲۵°	۲/۶۰۳	۵۵
۴/۷۰۹	۴۹°	۳/۸۲۷	۲۶°	۲/۷۷۹	۶۰
۴/۷۳۲	۵۰°	۳/۸۷۷	۲۷°	۲/۷۴۶	۶۵
۴/۷۵۵	۵۱°	۳/۹۲°	۲۸°	۲/۸۰۵	۷۰
۴/۷۷۶	۵۲°	۳/۹۷۵	۲۹°	۲/۹۲°	۸۰
۴/۷۹۷	۵۳°	۴/۰۲۴	۳۰°	۲/۹۰۸	۸۵
۴/۸۱۷	۵۴°	۴/۰۷۲	۳۱°	۲/۹۸۹	۹۰
۴/۸۳۵	۵۵°	۴/۱۱۹	۳۲°	۳/۰۲۰	۹۵
۴/۸۵۳	۵۶°	۴/۱۶۴	۳۳°	۳/۰۴۴	۱۰۰
۴/۸۶۹	۵۷°	۴/۲۰۹	۳۴°	۳/۰۸۹	۱۱۰
۴/۸۸۵	۵۸°	۴/۲۵۳	۳۵°	۳/۱۳۵	۱۲۰
۴/۹۰۰	۵۹°	۴/۲۹۵	۳۶°	۳/۱۸۲	۱۲۰

جدول پیوست شماره ۳:

بزرگا		۴/۰-۴/۱	۰/۰-۰/۱		۱/۰-۱/۱	۷/۰-۷/۱	
دسته بندی ساختگاه			۱	۲	۰	۱	۰
شتاب	قائم	log a_0	۱/۸۰۰	۱/۲۹۰	-	۱/۸۵۰	۱/۹۴۰
افزی	افقی	σ	۰/۰۲۶	۰/۰۱۹	-	۰/۴۹۲	۰/۲۵۲
(ساختگاه روز)	قائم	log a_0	۱/۲۸۰	۱/۰۷۰	-	۱/۵۱۰	۱/۰۶۰
محدود (نحو)	افقی	σ	۰/۲۰۹	۰/۲۱۸	-	۰/۰۲۳	۰/۲۱۳
مسویت	قائم	log v_0	۲/۱۹۰	۲/۱۲۰	-	۲/۰۰۰	۲/۰۷۰
افزی	افقی	σ	۰/۱۷۷	۰/۰۱۱	-	۰/۵۱۹	۰/۳۲۷
ستینچر (رنگی)	قائم	log v_0	۲/۱۲۰	۲/۰۱۰	-	۲/۰۹۰	۲/۰۷۰
افزی	افقی	σ	۰/۱۰۱	۰/۲۲۶	-	۰/۱۷۹	۰/۱۰۸
جایعی	قائم	log d_0	۲/۰۱۰	۲/۰۸۰	-	۲/۰۱۰	۲/۰۲۰
افزی	افقی	σ	۰/۰۴۰	۰/۰۴۷	-	۰/۶۹۱	۰/۰۴۷
ستینچر	قائم	log d_0	۲/۰۱۰	۲/۰۷۰	-	۲/۰۱۰	۲/۰۰۰
افزی	افقی	σ	۰/۱۷۱	۰/۲۲۸	-	۰/۴۸۶	۰/۲۲۰
جایعی	افقی		۲	۲	۰	۲۲	۱۵
	قائم		۱	۴	۲	۲۷	۲۷
اعتراف از معیار						۱۲	۷
						۲۲	۱۲
						۱۴	۱۴

۳- اعتراف از معیار

ابوفت با رسوبات زم با سرعت بالین

۱- سنگهای نوع منسوط

۲- سنگهای سخت یا بی سنگی

-۳ تغییرات بنیادی در مدل کاهیدگی

از سال ۱۹۸۰ میلادی با رهیافت به داده‌های بیشتر شتابنگاشتی مدل‌های کاهیدگی با تدقیق پارامترهای در نظر گرفته شده در مدل‌های کاهیدگی نظیر بزرگا، فاصله، شرایط ژئوتکنیکی ایستگاه ثبت‌کننده شتاب جنبش نیرومند زمین از یک سو و از سوی دیگر در نظر گرفتن عدم یقین در محاسبات و بکارگیری روش‌های گوناگون ریاضی کاربردی در پردازش داده‌های جنبش نیرومند زمین نظیر روش وزنی غیرخطی کمترین مربعات^۱، روش دو مرحله‌ای برگشتی^۲، روش وزنی قطری^۳ و روش‌های یک مرحله‌ای بیشینه درستنمایی^۴ تغییراتی بنیادی در مدل‌های کاهیدگی رخ داده است. فرآیند این کوششها بدست دادن مدل‌های کاهیدگی بوده است که شرایط ژئوتکنیکی ساختگاه موردنظر نظری بسترها سنگی و خاکی و پارامترهایی به منظور در نظر گرفتن سازوکار زمینلرزه‌ها و برآورد میزان شتاب جنبش نیرومند زمین برای سطوح^۵ و^۶ درصد در این مدلها مورد توجه قرار گرفته است.

این مدلها توسط کمپیل^۷، جوینر و بور^۸، بولت و امبرهامسون^۹ و ... ارائه گردید. باید خاطرنشان ساخت که خطای مدل کاهیدگی σ_{lna} با توجه به خطای تخمین پارامترهای جنبش نیرومند زمین محاسبه و ارائه شده است.

به هر حال مدل‌های ارائه شده از سال ۱۹۸۰ میلادی به بعد مطابق جدول شماره ۲ می‌باشد که در زیر به ویژگیهای آن اشاره می‌شود:

- مدل کاهیدگی بور و همکاران^۸ بر پایه زمینلرزه‌های باخترا آمریکا برای ساختگاههای خاکی و سنگی، برای بزرگای زمینلرزه بر حسب M_L و فواصل مختلف ارائه شده است (جدول ۲).
- مدل کاهیدگی اسپینوسا^۹ بر پایه زمینلرزه‌های خاور آمریکا برای بزرگای بین $M_L^{4/0}$ تا $M_L^{7/5}$ و فواصل بین ۵ تا ۳۰۰ کیلومتر ارائه شده است (جدول ۲).
- مدل کاهیدگی باتیس^{۱۰} بر پایه زمینلرزه‌های کالیفرنیا برای بزرگای $M_b^{5/0}$ تا $M_b^{6/5}$ و فواصل ۱۰ تا ۳۵۰ کیلومتر ارائه شد و همچنین وی بر پایه زمینلرزه‌های آمریکای مرکزی مدل جداگانه‌ای با شرایط دیگر ارائه کرد (جدول ۲).
- مدل کاهیدگی کمپیل در سال ۱۹۸۱ بر پایه زمینلرزه‌های جهان که دارای بزرگای بین ۵/۰ تا ۷/۷ و در فواصل کمتر از ۵۰ کیلومتری ایستگاه ثبت‌کننده شتاب جنبش نیرومند به وقوع پیوسته‌اند تهیه و ارائه گردید. این مدل‌های کاهیدگی برای ساختگاه سنگی و ساختگاه خاکی با ضخامت بیش از ۱۰ متر ارائه شده است (جدول ۲).

1- Weighted Nonlinear Least - Squares Method

2- Regression در کتابهای خواجه‌نوری (فرایازی)

3- Diagonal Weighting Scheme

4- One - Stage Maximum - Likelihood Method.

5- Campbell - 1981

6- Joyner & Boore - 1981

7- Bolt & Abrahamson - 1982

8- Boore et al - 1980

9- Espinosa - 1980

10- Battis - 1981

- مدل کاهیدگی هنکز و مک‌گایبر^۱ بر پایه زمینلرزه‌های کالیفرنیا برای بزرگای $M_L \geq 6/5$ تا $4/0$ و فواصل بین ۱۰ تا ۱۰۰ کیلومتری از ایستگاه ثبت‌کننده شتاب جنبش نیرومند زمین ارائه شده است (جدول ۲).
- مدل کاهیدگی هاسگاوا و همکاران^۲ بر پایه زمینلرزه‌های کانادا برای بزرگای M_b با میانگین $4/5$ تا $7/0$ و فواصل بین ۱۰ تا ۲۰۰ کیلومتری از ایستگاه ثبت‌کننده شتاب جنبش نیرومند زمین ارائه شده است. این مدل کاهیدگی قادر به برآورد بیشینه شتاب مؤلفه‌های افقی و قائم جنبش نیرومند زمین می‌باشد (جدول ۲).
- مدل کاهیدگی جوینر و بور^۳ بر پایه زمینلرزه‌های شمال باختربال آمریکا برای بزرگای $M_s \leq 5/0$ تا $7/7$ و فواصل کمتر از 37° کیلومتری ایستگاه ثبت‌کننده شتاب جنبش نیرومند زمین ارائه شده است. این مدل دارای ضرایبی است که می‌تواند شتاب را برای ساختگاههای خاکی و سنگی برآورد نماید و نیز خطای تخمین مدل کاهیدگی (σ_{lna}) برای مؤلفه‌های شتاب افقی و قائم جنبش نیرومند زمین ارائه گردیده است (جدول ۲).
- مدل کاهیدگی بولت و آمبراهاوسون در سال ۱۹۸۲ بر پایه زمینلرزه‌های شمال باختربال آمریکا برای فواصل کمتر از 37° کیلومتری ایستگاههای ثبت‌کننده شتاب جنبش نیرومند زمین، برای بسترها سنگی و خاکی و برای سه بازه بزرگای زمینلرزه $5/9 \leq M_s \leq 6/9$ ، $5/0 \leq M_s \leq 6/0$ ، $4/0 \leq M_s \leq 7/0$ ارائه شده است. برای این مدل کاهیدگی خطای تخمین مدل کاهیدگی محاسبه و ارائه گردیده است (جدول ۲).
- مدل کاهیدگی ناتلی و هرمن^۴ در سال ۱۹۸۴ برای دره می‌سی‌پی برای بزرگای زمینلرزه در بازه $7/5 \leq M_s \leq 4/5$ و فواصل بین ۳ تا ۲۰۰ کیلومتری ایستگاههای ثبت‌کننده شتاب جنبش نیرومند زمین ارائه شده است. این مدل با احتساب خطای تخمین مدل کاهیدگی برای برآورد بیشینه شتابهای افقی و قائم جنبش نیرومند زمین همراه بوده است. (جدول ۲)
- مدل کاهیدگی سابتا و پاگلیز^۵ در سال ۱۹۸۷ بر پایه زمینلرزه‌های باختربال آمریکا برای بسترها سنگی و برای سازوکار راندگی ارائه گردید. یک مدل مربوط به زمینلرزه‌های با بزرگای میانگین $4/5$ تا $6/5$ و مدل دیگر مربوط به زمینلرزه با بزرگای $6/5$ تا $7/4$ بوده است. به همین ترتیب دو مدل کاهیدگی دیگر برای سازوکار امتداد لغز با توجه به بزرگای زمینلرزه‌ها ارائه شد. علاوه بر مدل‌های کاهیدگی بیشینه شتاب، مدل‌های طیفی پاسخ زمین نیز برای بسترها سنگی نیز تهیه و ارائه شده است (جدول ۲).
- مدل کاهیدگی پتروسکی و مارسلینی^۶ در سال ۱۹۸۸ بر پایه زمینلرزه‌های کشورهای اروپایی برای بسترها خاکی و سنگی و برای بزرگای $7/0 \leq M \leq 3/0$ و فواصل ۸ تا ۲۰۰ کیلومتری ایستگاههای ثبت‌کننده شتاب جنبش نیرومند زمین ارائه گردیده است (جدول ۲).
- مدل کاهیدگی بور و آلکینسون^۷ در سال ۱۹۸۸ بر پایه زمینلرزه‌های شمال باختربال آمریکا برای بزرگای گشتاوری در بازه $7 \leq M_{lg} \leq 5$ و فواصل ۱۰ تا ۱۰۰ کیلومتری ایستگاههای ثبت‌کننده شتاب جنبش نیرومند زمین ارائه گردیده است (جدول ۲).

1- Hanks & Mc Guire - 1981

2- Hasegawa et al - 1981

3- Joyner & Boore - 1981

4- Nuttli & Herrmann

5- Sabetta & Pugliese

6- Petrovski & Marcellini

7- Boore & Alkinson

شده است. در این مدل ژرفای کانونی زمینلرزه‌ها 10° کیلومتر در نظر گرفته شده است (جدول ۲).

- مدل کاهیدگی جوینر و بور در سال ۱۹۸۸ با توجه به اطلاعات بیشتر از زمینلرزه‌های رویداده در شمال باختری آمریکا مدل قبلی را مورد بازنگری قرار داده است. در این مدل ضریبی برای بسترهای خاکی در نظر گرفته شده است و علاوه بر آن بیشینه مقادیر شتاب جنبش نیرومند زمین برای سطوح 50° و 84° درصد با توجه به خطای مدل کاهیدگی قابل برآورد است. این مدل کاهیدگی نیز دارای مدل طیفی می‌باشد (جدول ۲).
- مدل کاهیدگی کمپبل در سال ۱۹۸۹ با توجه به اطلاعات بیشتر از زمینلرزه‌های جهان مدل قبلی را مورد بازنگری قرار داده است. در این مدل که یک مدل جهانی نامیده شده است مؤلفه‌های افقی و قائم بیشینه شتاب جنبش نیرومند زمین برای سازوکارهای راندگی و امتداد لغز یا نرمال و ساختگاههای خاکی و سنگی قابل محاسبه است. در این مدل بزرگای زمینلرزه‌های کوچکتر از M_L و برای بزرگای بزرگتر از M_S در نظر گرفته شده است. این مدل کاهیدگی نیز دارای مدل طیفی می‌باشد (جدول ۲).
- مدل کاهیدگی کمپبل در سال ۱۹۹۰ با انجام محاسبات مجدد، مدل قبلی را مورد بازنگری قرار داد و مدل کاهیدگی کاملتری با منظور نمودن ضرایب جدید ارائه نمود (جدول ۲).
- مدل کاهیدگی آمبرسیز و بومر در سال ۱۹۹۱ بر پایه زمینلرزه‌های کشورهای اروپایی، ترکیه، ایران، پاکستان و فلسطین اشغالی برای بازه بزرگای $7/5 \leq M_S \leq 40^{\circ}$ و فواصل کمتر از 200 کیلومتری ایستگاههای ثبت‌کننده شتاب جنبش نیرومند زمین ارائه شده است. در این مدل فاصله کانونی در نظر گرفته شده است و شرایط ساختگاه و سازوکار زمینلرزه به صورت یکسان در مدل منظور گردیده است (جدول ۲).
- مدل کاهیدگی تئودولیدیس و پاپازاچوز در سال ۱۹۹۱ بر پایه داده‌های شتابنگاشتی زمینلرزه‌های کشورهای یونان، ژاپن و آلاسکا برای بازه بزرگای $7 \leq M_S \leq 45^{\circ}$ و فواصل رومکز زمینلرزه‌ها بین 5 تا 240 کیلومتر از ایستگاه ثبت‌کننده شتاب جنبش نیرومند زمین ارائه گردید. این مدل صرفاً برای برآورد بیشینه شتاب افقی برای سطوح 50° و 84° درصد با توجه به خطای تخمین مدل کاهیدگی برای بسترهای سنگی، خاکی و آبرفتی می‌باشد (جدول ۲).
- مدل کاهیدگی تنتو و همکاران در سال ۱۹۹۲ بر پایه داده‌های شتابنگاشتی زمینلرزه‌های ایتالیا برای بازه بزرگای $6/6 \leq M_L \leq 40^{\circ}$ و در بازه فاصله $k_m \leq R \leq 170$ کیلومتر ارائه گردید. این مدل کاهیدگی قادر به برآورد بیشینه شتاب جنبش نیرومند زمین برای سطوح 50° و 84° درصد خطای تخمین مدل کاهیدگی می‌باشد. (جدول ۲)
- مدل‌های کاهیدگی صدیق و همکاران در سال ۱۹۹۳ بر پایه داده‌های شتابنگاشتی زمینلرزه‌های باختر آمریکا برای بزرگای کمتر از $6/5$ و بیش از $6/5$ ارائه گردید. این مدلها نیز برای بسترهای سنگی و سازوکارهای راندگی و امتداد لغز یا نرمال به صورت جداگانه کاربرد دارد. این مدل کاهیدگی نیز دارای مدل طیفی است (جدول ۲).

جدول ۲ - ویژگیهای مدل‌های کاهیدگی ارائه شده از سال ۱۹۸۱ تا سال ۱۹۹۳

نام پژوهشگران	سال میلادی	نوع زمین	سازوکار	بزرگا	فاصله بر حسب کیلومتر	مدل کاهیدگی شتاب جنبش زمین	ملاحظات
اسپنوسا	۱۹۸۰	کلیه زمینها	کلیه سازوکارها	$4/5 \leq M_L \leq 7/5$	$5 \leq R \leq 300$	$a = 5/235 \times 10^{-7} \times e^{2/3M} \times R^{-0/06}$	این روابط برای خاور آمریکا تهیه شده است و بترتیب برای فواصل $1^{\circ} \leq R \leq 6^{\circ}$, $R \leq 1^{\circ}$, $5 \leq R \leq 30^{\circ}$ و $6^{\circ} \leq R \leq 30^{\circ}$ کیلومتر قابل استفاده است.
باتیس	۱۹۸۱	کلیه زمینها	کلیه سازوکارها	$5 \leq M_b \leq 6/5$	$1^{\circ} \leq R \leq 35^{\circ}$	$a = 0/3480 \times e^{1/21M} (R+25)^{-2/08}$ $\sigma Lna = 0/71$	این مدل برای منطقه کالیفرنیا است
کمپل	۱۹۸۱ a	برای زمینهای سنگی یا خاکی با ضخامت کمتر از ۰۵ متر و زمینهای خاکی با ضخامت بیش از ۱۰ متر		$M_L \leq 6/0$ $M_s \geq 6/0$	$R = R_f$	$a = 0/239 \times e^{1/24M} (R+25)^{-1/24}$ $\sigma Lna = 0/71$ $a = 0/0159 \times e^{0/868M} [R+C(M)]^{-1/09}$ $C(M) = 0/0606 \times e^{0/VM}$ $\sigma Lna = 0/37$	این مدل برای آمریکای مرکزی است "Wordwide"
هنکز و مک‌گایر	۱۹۸۱	کلیه زمینها	کلیه سازوکارها	$M = M_L$ $4/0 \leq M \leq 6/5$	$1^{\circ} \leq R \leq 100^{\circ}$	$a = 0/119 R^{-1} \left[\frac{f_{max}}{f_0} \ln \left(\frac{f}{f_0} \right) \right]^{0/5}$	این رابطه برای باختر کانادا است این رابطه برای خاور کانادا است.
هاسکاوا و همکاران	۱۹۸۱	کلیه زمینها	کلیه سازوکارها	$M=M_L$ $M=M_b$	$R=R_h$	$a = 1/02 \times 10^{-2} e^{1/3M} \times R^{-1/5}$ $a = 3/47 \times 10^{-3} e^{1/3M} R^{-1/1}$	$1^{\circ} \leq R \leq 200^{\circ}$

ادامه جدول ۲ - ویژگیهای مدل‌های کاهیدگی ارائه شده از سال ۱۹۸۱ تا سال ۱۹۹۳

نام پژوهشگران	سال میلادی	نوع زمین	سازوکار	بزرگا	فاصله بر حسب کیلومتر	مدل کاهیدگی شتاب جنبش زمین	ملاحظات
جوینر و بور	۱۹۸۱	برای کلیه زمینها (خاک و سنگ)	کلیه سازوکارها	$5/0 \leq M \leq 7/7$	$R \leq 37^{\circ}$	$a = 0/0955 e^{0/0573M} \times D^{-1} \times e^{-0/00587D}$ $D = (R^2 + 7/3)^{0/5}$ $\sigma Lna = 0/6$	این مدل برای شمال باختり آمریکا تهیه شده است.
بولت و آبراهمسنون	۱۹۸۲	برای کلیه زمینها (خاک و سنگ)	کلیه سازوکارها	$5/0 \leq M \leq 5/9$ $6/0 \leq M \leq 6/9$ $7/0 \leq M \leq 7/7$	$R \leq 37^{\circ}$	$a = 1/2 [(R+23)^2 + 1]^{0/033} \times e^{-0/066(R+23)}$ $a = 1/2 [(R+25)^2 + 1]^{0/042} \times e^{-0/044(R+25)}$ $a = 0/24 [(R+15)^2 + 1]^{0/1} \times e^{-0/022(R+15)}$	این مدل‌های کاهیدگی برای شمال باختり آمریکا تهیه شده است. خطای مدل کاهیدگی برای مدلها به ترتیب $g = 0/06$ و $g = 0/05$ می‌باشد.
ناتلی و هرمان	۱۹۸۴	برای کلیه زمینها	کلیه سازوکارها	$4/5 \leq M \leq 7/5$	$3 \leq R \leq 200$	$a = 3/79 \times 10^{-3} \times e^{1/15M} \times D^{-0/083} \times e^{-0/00159R}$ $D = (R^2 + H_{min}^2)^{0/5}$ $H_{min} = 0/0186 \times e^{1/05M}$ $\sigma Lna = 0/055$	این مدل کاهیدگی برای دره می‌سی‌پی تهیه شده است.
سابتا و پاگلیز	۱۹۸۷	برای زمین سنگی یا خاکی با سطبرای راندگی بیش از 20 متر است. برای زمین با ضخامت کمتر از 20 متر $S=1$ است.	ساز و کار	$M_L = M < 5/5$	$2 \leq d \leq 200$	$\log a = -1/562 + 0/306 M - \log(d^2 + 5/8^2)^{0/5} + 0/169 S + 0/173 P$ $P = 50$ بر صد ک $P = 1$ بر صد ک	این مدل کاهیدگی بر پایه داده‌های کشورهای اروپایی تهیه شده است و برای مؤلفه افقی می‌باشد.

ادامه جدول ۲ - ویژگیهای مدل‌های کاهیدگی ارائه شده از سال ۱۹۸۱ تا سال ۱۹۹۳

نام پژوهشگران	سال میلادی	نوع زمین	سازوکار	بزرگا	فاصله بر حسب کیلومتر	مدل کاهیدگی شتاب جنبش زمین	ملاحظات
بور و الکینسون	۱۹۸۸	کلیه زمینها	کلیه سازوکارها	$M=M_{lg}$	$10 \leq R \leq 100$	$Lna = -4/34 + M_{lg} - LnR - 0/0046 R$	بزرگای گشتاوری M_{lg} این مدل کاهیدگی برای شمال غربی آمریکا کاربرداد و ژرفای کانونی ۱ کیلومتر در نظر گرفته شده است.
جوینر و بور	۱۹۸۸	کلیه زمینها	کلیه سازوکارها	$R=(d^2+h^2)^{0.5}$	$5/0 \leq M_{lg} \leq 7/0$	$M= 2/715 - 0/277 M_{lg} + 0/127 M'^{lg}$	$\sigma Lna = 0/6$ این مدل کاهیدگی برای شمال غربی آمریکا تهیه شده است و شامل مدل طیفی نیز می‌باشد.
پتروسکی و مارسلین	۱۹۸۸	کلیه زمینها	کلیه سازوکارها	$5 \leq M \leq 7/7$	$R=(r^2+h^2)^{0.5}$	$loga_H = 0/43 + 0/23 (M-6) - logR - 0/0027 R + S$	این مدل کاهیدگی برپایه داده‌های کشورهای اروپایی تهیه شده است و شامل مؤلفه افقی می‌باشد.

ادامه جدول ۲ - ویژگیهای مدل‌های کاهیدگی ارائه شده از سال ۱۹۸۱ تا سال ۱۹۹۳

نام پژوهشگران	سال میلادی	نوع زمین	سازوکار	بزرگا	فاصله بر حسب کیلومتر	مدل کاهیدگی شتاب جنبش زمین	ملاحظات
کمپبل	۱۹۸۹	خاک و سنگ (کلیه زمینها)	برای سازوکار رانده و یا معکوس	$M_L = M < 6/0$ $M_S = M > 6/0$	$R \leq 6^{\circ}$ $R = (d^2 + h^2)^{0/5}$	$\ln a_H = -2/47 + 1/08 M - 1/81$ $[R + 0/311 e^{0/597 M}] + 0/382 F$ $\sigma \ln a_H = 0/421$ $\ln a_V = -4/003 + 0/978 M - 1/45$ $[R + 0/0536 e^{0/974}] + 0/239 F$ $\sigma \ln a_V = 0/569$ $\ln a_H = -2/245 + 1/09 M - 1/89$ $[R + 0/361 e^{0/576 M}] + 0/218 F$ $\sigma \ln a_H = 0/45$ $\ln a_V = -3/829 + 0/991 M - 1/5$ $[R + 0/079 e^{0/661 M}] + 0/111 F$ $\sigma \ln a_V = 0/575$ $\ln a = -1/471 + 0/849 M - \ln r$ $-0/00418 r$	شامل مدل طیفی برای مؤلفه‌های افقی و قائم بر روی خاک و سنگ است. این مدل کاهیدگی جهانی است و برای مؤلفه‌های افقی و قائم کاربرد دارد و شامل مدل طیفی برای مؤلفه‌های افقی و قائم بر روی خاک و سنگ است. این مدل کاهیدگی جهانی است و برای مؤلفه‌های افقی و قائم کاربرد دارد و شامل مدل طیفی برای مؤلفه‌های افقی و قائم بر روی خاک و سنگ است. این مدل کاهیدگی بر پایه داده‌های کشورهای اروپایی، کانادا و باخترا آمریکا، استرالیا و چین تهیه شده است.
کمپبل	۱۹۹۰	کلیه زمینها (طیف برای خاک و سنگ)	برای سازوکار رانده و معکوس	$M_L = M < 6/0$ $M_S = M > 6/0$	$R = (d^2 + h^2)^{0/5}$	$\ln a_H = -2/245 + 1/09 M - 1/89$ $[R + 0/361 e^{0/576 M}] + 0/218 F$ $\sigma \ln a_H = 0/45$ $\ln a_V = -3/829 + 0/991 M - 1/5$ $[R + 0/079 e^{0/661 M}] + 0/111 F$ $\sigma \ln a_V = 0/575$	شامل مدل طیفی برای مؤلفه‌های افقی و قائم بر روی خاک و سنگ است. این مدل کاهیدگی جهانی است و برای مؤلفه‌های افقی و قائم کاربرد دارد و شامل مدل طیفی برای مؤلفه‌های افقی و قائم بر روی خاک و سنگ است. این مدل کاهیدگی جهانی است و برای مؤلفه‌های افقی و قائم کاربرد دارد و شامل مدل طیفی برای مؤلفه‌های افقی و قائم بر روی خاک و سنگ است.
دھلی و همکاران	۱۹۹۰	کلیه زمینها ساختگاههای خاکی مناسب (نمی‌باشد)	برای کلیه ساز و کارها	$3/0 \leq M < 7/8$ $M = Ms$	$1^{\circ} \leq r \leq 130^{\circ}$ (فاصله کانونی)		

ادامه جدول ۲ - ویژگیهای مدل‌های کاهیدگی ارائه شده از سال ۱۹۸۱ تا سال ۱۹۹۳

نام پژوهشگران	سال میلادی	نوع زمین	سازوکار	بزرگا	فاصله بر حسب کیلومتر	مدل کاهیدگی شتاب جنبش زمین	ملاحظات
امبرسیز و بومر	۱۹۹۱	برای کلیه زمینها	برای کلیه ساز و کارها	$4/0 \leq M \leq 7/5$	$r = (d^2 + h^2)^{0/5}$	$\log a = -1/09 + 0/238 M - \log r$ $-0/0005 r + 0/28 P$ $r = (d^2 + 6/0^2)^{0/5}$	این مدل کاهیدگی بر پایه داده‌های کشورهای اروپایی، ترکیه، ایران، اسرائیل و پاکستان
ادریس	۱۹۹۱	برای بستر سنگی	برای ساز و کار	$M_L = M < 6/0$	$M_L = M < 6/0$	$\ln a_H = -0/15 + e^{(2/261 - 0/083 M)}$ $-e^{(1/602 - 0/142 M)} \times \ln(R + 20) + 0/2 F + \sigma$	مدل کاهیدگی اول برای بزرگای کمتر از ۶ و مدل کاهیدگی دوم برای بزرگای بیش از ۶ این مدل نیز از مدل طیفی برخوردار است.
کمپل	۱۹۹۱	برای خاک و سنگ نرم	برای ساز و کار	$M_S = M_W = F = 0$	$M_S = M_W = F = 0$	$\sigma = 1/39 - 0/14 M$ $\ln a_H = -0/05 + e^{(3/477 - 0/284 M)}$ $-e^{(2/475 - 0/286 M)} \times \ln(R + 20) + 0/2 F + \sigma$ $\sigma = 1/39 - 0/14 M$	برای زمینلرزه‌های کوچکتر از ۶. فاصله از کانون زمینلرزه برای زمینلرزه‌های بزرگتر از نزدیکتر فاصله گسلش سطحی

ادامه جدول ۲ - ویژگیهای مدل‌های کاهیدگی ارائه شده از سال ۱۹۸۱ تا سال ۱۹۹۳

نام پژوهشگران	سال میلادی	نوع زمین	سازوکار	بزرگا	فاصله بر حسب کیلومتر	مدل کاهیدگی شتاب جنبش زمین	ملاحظات
تندولیدیس و پاپازچوس	۱۹۹۱	برای سنگ $S = \circ$	برای کلیه ساز و کارها	$4/5 \leq M \leq 7/0$	$5 \leq R \leq 24^{\circ}$	$\ln a_H = 3/88 + 1/12 M - 1/65 \ln (r + 15) + 0/41 S + 0/71 P$	این مدل بر پایه داده‌های شتابنگاشتی کشور یونان، ژاپن و آلاسکا تهیه شده است. «دارای مدل طیفی نیز می‌باشد».
تنتو و همکاران	۱۹۹۲	برای آبرفت و خاک $S = 1$	برای کلیه سازو کارها	$M = M_S$	فاصله از رومرکز زمینلرزه‌ها	$Br = 4/73 + 0/52 M - 0/00216 R$ $\sigma = 0/67$	این مدل برای کشور ایتالیا تهیه شده است و دارای مدل طیفی نیز می‌باشد.
صدیق و همکاران	۱۹۹۳	برای زمینهای سنگی	برای ساز و کار رانده دو مدل	$4/0 \leq M \leq 6/6$	$3/2 \leq R \leq 17^{\circ}$	نزدیکترین فاصله از گسل مسبب یا مرکز سطحی زمینلرزه	مدلهای کاهیدگی ارائه شده برای غرب آمریکا می‌باشد و نیز دارای طیف پاسخ برای مؤلفه‌های افقی و قائم است.
		کاهیدگی ارائه شده است.	برای ساز و کار امتداد لغز دو مدل کاهیدگی ارائه شده است.	$7/4 > M \geq 6/5$	$4/5 \leq M < 6/5$	$\ln a_H = -1/92 + 1/1 M - 2/1 \ln [R + e^{(-0/4845+0/524 M)}]$	
				$7/4 > M \geq 6/5$	$4/5 \leq M < 6/5$	$\ln a_H = -0/442 + M - 2/1 \ln [R + e^{(1/2965+0/25 M)}]$	
						$\ln a_H = -1/274 + 1/1 M - 2/1 \ln [R + e^{(-0/4845+0/524 M)}]$	
						$\ln a_H = -0/624 + M - 2/1 \ln [R + e^{(1/2965+0/25 M)}]$	

-۴ مدل‌های کاهیدگی بهنگام شده جهان :

روند تغییرات بنیادی در مدل‌های کاهیدگی از ۱۹۸۰ به بعد شروع شده است. در دسامبر سال ۱۹۹۳ با همکاری کلیه کشورهای لرزه‌خیز جهان بهویژه ژاپن و آمریکا یک کارگاه تخصصی تحت عنوان جنبش نیرومند زمین در کالیفرنیا ای آمریکا برگزار گردید و آخرین مدل‌های کاهیدگی به صورت جهانی و یا قاره‌ای و یا بهویژه ناحیه‌ای از کشورهای لرزه‌خیز جهان در مجموعه مقالات این کارگاه تخصصی به چاپ رسید. پس از برگزاری این کارگاه تخصصی و ارائه دستاوردهای آن، دانشمندان این بخش از لرزه‌شناسی مهندسی بر آن شوند تا آخرین کوششهای خود را با رهنمودهای حاصل از این کارگاه تخصصی جنبش نیرومند زمین و رویداد زمینلرزه‌های مخرب در غرب آمریکا و ژاپن (زمینلرزه مخرب و ویرانگر کوبه) ارائه نموده و یک جلد از بولتن نامه‌های پژوهشی لرزه‌شناسی^۱ (جلد ۶۸- ویژه ژانویه و فوریه ۱۹۹۷) به این امر مهم اختصاص دهنده و آخرین پژوهشها و مدل‌های کاهیدگی را با وارسی و ژرف‌نگری پژوهشگران معروف فی‌چون آمبراهامسون و شدلاک بر این مدل‌ها ارائه نمایند. در این بخش چکیده‌ای از برخی مدل‌های ارائه شده بیان می‌شود:

۱-۴ مدل کاهیدگی آبراهامسون و سیلووا (۱۹۹۷)

Abrahmson, N.A., Silva, W.J., 1997

این مقاله با عنوان و مرجع مورد استفاده زیر در سال ۱۹۹۷ ارائه شده است:

"Empirical Response Spectral Attenuation Relations for Shallow Crustal Earthquakes."

Reference : Seismological Research letters, Vol. 68, No. 1, Jan/Feb ۱۹۹۷ , pp ۹۴-۱۲۷ .

خلاصه : با استفاده از ۶۵۵ عدد نگاشت ثبت شده از ۵۸ زمینلرزه رویداده، مدل‌های کاهیدگی تجربی طیف پاسخ برای مؤلفه‌های میانگین افقی و قائم و برای زمینلرزه‌های کم عمق در نواحی فعال زمین‌ساختی بدست آمده است. در این مدل همچنین با تعیین یک ضریب، امکان مشخص کردن تفاوت بین فرا دیواره و فرودیواره گسل وجود دارد. پاسخ ساختگاه بصورت مجازی و بصورت غیرخطی بوده و بیشینه سطح شتاب در روی سنگ وابسته می‌باشد. محدودیتها: از نظر بکارگیری بزرگ‌ترین فاصله به محدودیتی در مقاله اشاره نشده است.

روابط :

طیف پاسخ شبه شتاب افقی :

$$\ln Sa(g) = f_1(M, r_{rup}) + F f_2(M) + H_w f_3(M, r_{rup}) + S f_4(Pga_{rock})$$

تعريف نمادهای بکار برده شده:

(g) طیف پاسخ شتاب بر حسب (Sa(g))

M: بزرگای گشتاوری (M_w)

R: فاصله که بر حسب r_{rup} (نزدیکترین فاصله از سطح گسیختگی) و ضریب ثابت C⁴ با استفاده از این رابطه

$$R = (r_{rup}^2 + C^2)^{1/2}$$

F: ضریب نوع گسلش (1 برای معکوس، ۰/۵ برای معکوس/مايل و ۰ برای غیر از آن)

S: ضریب ساختگاه (۰ برای سنگ یا خاک کم عمق، ۱ برای خاک عمیق)

Hw: ضریب مربوط به گسل (1 برای ساختگاه قرار گرفته روی فرادیواره، ۰ غیر از آن)

$$f_1(M, r_{rup}) = a_1 + a_2(M - C_1) + a_{12}(\Lambda/\delta - M)^n + [a_3 + a_{13}(M - C_1)] \ln R \quad \text{و } M \leq C_1$$

$$f_1(M, r_{rup}) = a_1 + a_4(M - C_1) + a_{12}(\Lambda/\delta - M)^n + [a_3 + a_{13}(M - C_1)] \ln R \quad \text{و } M > C_1$$

$$= a_5 \quad \text{و } M \leq \delta/\Lambda$$

$$f_r(M) = a_5 + \frac{(a_6 - a_5)(M - \delta/\Lambda)}{(C_1 - \delta/\Lambda)} \quad \delta/\Lambda < M < C_1$$

$$= a_6 \quad \text{و } M \geq C_1$$

$$f_r(M, r_{rup}) = f_{Hw}(M) f_{Hw}(r_{rup})$$

$$= 0 \quad \text{و } M \leq \delta/\Lambda$$

$$\Rightarrow f_{Hw}(M) = 1 - \frac{\delta/\Lambda}{\Lambda} \quad \delta/\Lambda < M < \delta/\Lambda$$

$$= 1 \quad \text{و } M \geq \delta/\Lambda$$

$$= 0 \quad \text{و } r_{rup} < \delta$$

$$= a_9 \frac{r_{rup} - \delta}{\delta} \quad \delta < r_{rup} < \Lambda$$

$$\Rightarrow f_{Hw}(r_{rup}) = a_9 \quad \Lambda < r_{rup} < 1\Lambda$$

$$= a_9(1 - \frac{r_{rup} - 1\Lambda}{\Lambda}) \quad 1\Lambda < r_{rup} < 2\Lambda$$

$$= 0 \quad \text{و } r_{rup} > 2\Lambda$$

$$f_\delta(PGA_{rock}) = a_{10} + a_{11} \ln(PGA_{rock} + C_5)$$

(g) بیشینه شتاب پذیرفتی در سنگ (PGA_{rock})

خطای استاندارد:

$$= b_1 \quad \text{و } M \leq \delta/\Lambda$$

$$\sigma(M) = b_1 - b_2(M - \delta) \quad \delta/\Lambda < M < \gamma/\Lambda$$

$$= b_1 - 2b_2 \quad \text{و } M \geq \gamma/\Lambda$$

$$\begin{aligned}
 &= b_3 & M \leq 5\% \\
 \tau_{(M)} &= b_3 - b_4(M - 5) & 5\% < M < 7\% \\
 &= b_3 - 2b_4 & M \geq 7\%
 \end{aligned}$$

$$\begin{aligned}
 &= b_5 & M \leq 5\% \\
 \sigma_{\text{total}}(M) &= b_5 - b_6(M - 5) & 5\% < M < 7\% \\
 &= b_5 - 2b_6 & M \geq 7\%
 \end{aligned}$$

۲-۴ مدل آمبرسیز، سیمپسون و بومر (۱۹۹۶)

Ambraseys, N.N., Simpson, K.A. and Bommer, J.J., 1996

این مقاله با عنوان و مرجع مورد استفاده زیر در سال ۱۹۹۶ ارائه شده است:

"Prediction of Horizontal & Vertical Response Spectra in Europe".

Reference : Earthquake Engineering and Structural Dynamics, Vol. 25, pp 371-412

خلاصه : مجموعه بزرگی از اطلاعات ثبت شده از زمینلرزه‌ها بکار برده شده است تا معادلات مربوط به محاسبه بیشینه شتاب و طیف پاسخ برای مؤلفه‌های افقی و قائم در ناحیه اروپا و نواحی همجوار آن (مانند خاورمیانه) بدست آید. این روابط بر حسب بزرگا، فاصله از چشم لرزه‌ای و زمین‌شناسی ساختگاه بدست آمده است.

محدودیتها : این روابط برای استفاده در بازه بزرگای $M_s < 7/5 < 4$ و فاصله از چشم بیشتر از ۲۰۰ کیلومتر مناسب می‌باشد.

روابط :

۱- بیشینه شتاب افقی :

$$\log(a_h) = -1/48 + 0/266 M_s + 0/922 \log(r) + 0/117 S_A + 0/124 S_s + 0/25 P$$

۲- بیشینه شتاب قائم :

$$\log(a_v) = -1/74 + 0/273 M_s + 0/954 \log(r) + 0/076 S_A + 0/058 S_s + 0/26 P$$

۳- طیف پاسخ شتاب افقی و قائم :

$$\log(S_A) = C_1 + C_2 M_s + C_4 \log(r) + C_A S_A + C_S S_s + \sigma P$$

۴- تعریف نمادهای بکار برده شده در روابط :

S_A و a_v : بیشینه شتاب افقی و قائم و طیف پاسخ شتاب افقی و قائم (همگی بر حسب g)

M_s : بزرگاً بر حسب مقیاس بزرگای امواجی سطحی زمین

$$r = (d^2 + h^2)^{1/2}$$

که در آن d نزدیکترین فاصله افقی از ایستگاه به تصویر سطحی گسیختگی کسل است و h در دو حالت در نظر گرفته می‌شود که یکی بصورت ضریب ثابت است که از حل معادله جنبش زمین بدست می‌آید و در حالت دوم بصورت ضریب متغیر می‌باشد.

S_S و S_A : اثر ساختگاه که به سه دسته بصورت زیر تقسیم می‌شود:

۱- سنگی (طبقه‌بندی R، میانگین سرعت امواج بر Shi بزرگتر از $V_s > 75 \text{ m/s}$)

۲- خاک سفت (طبقه‌بندی A، میانگین سرعت امواج بر Shi بین $75 \leq V_s \leq 36 \text{ m/s}$)

۳- خاک نرم (طبقه‌بندی S، میانگین سرعت امواج بر Shi کمتر از $V_s < 36 \text{ m/s}$)

(σ) : انحراف معیار محاسبه پارامتر جنبش موردنظر زمین است و ضریب ثابت P دارای مقدار صفر برای صدک ۰٪ و ۱ برای صدک ۸۴٪ می‌باشد.

۳-۴ مدل بوئر، جوینر و فومال (۱۹۹۷)

Boore, D.M., Joyner, W.B., Fumal, T.E., 1997

این مقاله در سال ۱۹۹۷ با عنوان و مرجع مورد استفاده زیر ارائه شده است.

"Equation for Estimating Horizontal Response Spectra and Peak Acceleration from Western American Earthquakes: A Summary of Recent Work"

Reference : Seismological Research letters, Vol. 68, No. 1, Jan/Feb 1997 , pp 128-153

خلاصه: این مقاله خلاصه‌ای از آخرین مطالعات انجام شده بمنظور محاسبه طیف پاسخ و بیشینه شتاب مؤلفه افقی برای زمینلرزه‌های کم عمق در شمال باختری آمریکا می‌باشد. ضرایب ارائه شده همان ضرایب قبلی هستند با این تفاوت که در جداول مربوط به بیشینه شتاب و طیف پاسخ به جای لگاریتم در مبنای ده از لگاریتم طبیعی پارامترهای جنبش زمین استفاده شده است. معادلات پارامترهای جنبش زمین را بر حسب بزرگای گشتاوری، فاصله، شرایط ساختگاه و سازوکار گسل (امتداد - لغز، معکوس - لغز یا غیرمشخص) ارائه می‌دهند. شرایط ساختگاه بر حسب میانگین سرعت امواج بر Shi بر روی ۳۰ متر لایه بالایی بیان شده و مقادیر میانگین سرعت امواج بر Shi برای ساختگاههای نمونه سنگی و خاکی که توسط بوسیله برنامه ملی کاهش خطر (NEHRP)^۱ زلزله توصیه شده است

نیز ذکر شده است. اضافه بر این نسبت به نقاط بیشتری برای بازه بزرگاً و فاصله در روابط داده شده است. سرانجام در جداول مربوط به پارامترهای ورودی تصحیحاتی برای طبقه‌بندی ساختگاهها و بزرگای زمینلرزه انجام شده است (این تصحیحات، در برآوردهای پارامترهای جنبش زمین تغییرات کوچک ولی مورد نیازی را ایجاد می‌کند و مزیت آن این است که دیگر نیازی به تغییر در ضرایب روابط نمی‌باشد).

محدودیتها : این روابط برای استفاده در بازه بزرگای $M < 7/5$ و فاصله تا کیلومتر $r < 5/5$ مناسب می‌باشد.

روابط :

۱- بیشینه شتاب افقی یا طیف پاسخ شبه شتاب بر حسب (g)

$$\ln Y = b_1 + b_2(M - 6) + b_3(M - 6)^2 + b_4 \ln r + b_5 \ln \frac{V_s}{V_A} \pm \sigma \ln Y$$

۲- تعریف نمادهای بکار برده شده در روابط :

Y: بیشینه شتاب افقی یا طیف پاسخ شبه شتاب بر حسب g

M: بزرگای گشتاوری (M_w)

r: فاصله است که با رابطه $(r_{jb}^2 + h^2)^{1/2}$ = r بیان می‌شود

و در آن :

r_{jb} : نزدیکترین فاصله افقی از تصویر قائم گسیختگی و

h: ضریب ثابت است که از حل معادله بوسیله آنالیز برگشتی حاصل می‌شود

و b_1 سازوکار گسل است که شامل: b_{1SS} زمینلرزه‌های امتداد - لغز^۱

b_{1RS} زمینلرزه‌های معکوس - فشاری^۲

b_{1ALL} اگر هیچ نوع سازوکاری مشخص نباشد.

- انحراف از معیار $\sigma \ln Y$ می‌باشد

- مقادیر توصیه شده برای میانگین سرعت برنشی

NEHRP Site Class B	۱۰۷° m/sec	در طبقه‌بندی B ساختگاه برنامه ملی کاهش خطر زلزله
NEHRP Site Class C	۵۲° m/sec	در طبقه‌بندی C ساختگاه برنامه ملی کاهش خطر زلزله
NEHRP Site Class D	۲۵° m/sec	در طبقه‌بندی D ساختگاه برنامه ملی کاهش خطر زلزله
Rock	۶۲° m/sec	در سنگ
Soil	۳۱° m/sec	در خاک

۴-۴ مدل کاہیدگی کمپبل (۱۹۹۷)

Campbell, K.W., 1997

این مقاله با عنوان و مرجع مورد استفاده زیر در سال ۱۹۹۷ ارائه شده است:

"Empirical Near-Source Attenuation Relationships for horizontal and Vertical Components of Peak Ground Acceleration, Peak Ground Velocity and Pseudo - Acceleration Response Spectra"

Reference : Seismological Research Letters, Vol. 68 , No. 1, Jan/Feb 1997 , pp 154-179.

خلاصه: در این مقاله روابطی برای محاسبه مقادیر شتاب، سرعت و همچنین طیف پاسخ شبه شتاب (برای میرایی ۰/۵٪) مؤلفه‌های افقی و قائم جنبش نیرومند زمین داده شده است. در این مقاله ذکر شده است که این روابط در واقع بازنگری مطالعات سابق این محقق طی سالهای ۱۹۹۰ تا ۱۹۹۴ بوده است و در آن ضمن برطرف نمودن موارد ضعف قبلی برنکات قوت آن افزوده شده است. کاربرد این روابط برای تمام دنیا و بخصوص در مناطق زمینساختی فعال می‌باشد.

محدودیتها: محدوده بزرگاً و فاصله‌ای که می‌بایست رعایت شود به ترتیب $M_w = 5^{\circ}$ و $R_{SEIS} \leq 6^{\circ}$ کیلومتر می‌باشد.

روابط:

۱- شتاب افقی :

$$\begin{aligned} \ln(A_H) = & -3/512 + 0/904 M - 1/328 \ln\{\sqrt{R_{SEIS}} + (0/149 \exp(0/847 M))\} \\ & + [1/125 - 0/112 \ln(R_{SEIS}) - 0/0957 M] F \\ & - [0/440 - 0/171 \ln(R_{SEIS})] S_{SR} \\ & + [0/405 - 0/222 \ln(R_{SEIS})] S_{HR} + \varepsilon_1 \end{aligned}$$

۲- سرعت افقی :

$$\begin{aligned} \ln(V_H) = & \ln(A_H) + 0/26 + 0/29 M - 1/44 \ln[R_{SEIS} + 0/0203 \exp(0/958 M)] \\ & + 1/89 \ln[R_{SEIS} + 0/361 \exp(0/576 M)] \\ & - (0/0001 - 0/000565 M) R_{SEIS} - 0/12 F - 0/15 S_{SR} - 0/3 S_{HR} \\ & + 0/75 \tanh(0/51 D)(1 - S_{HR}) - F_V(D) + \varepsilon_2 \end{aligned}$$

۳- طیف پاسخ شبیه شتاب افقی (پریود ۰/۰۵ تا ۴/۰ ثانیه) :

$$\begin{aligned} \ln(SA_H) = & \ln(A_H) + C_1 + C_2 \tanh[C_3(M - 4/V)] \\ & + (C_4 + C_5 M) R_{SEIS} + 0/05 C_6 S_{SR} \\ & + C_7 S_{HR} + C_8 \tanh(C_9 D) (1 - S_{HR}) + F_{SA}(D) + \varepsilon_3 \end{aligned}$$

۴- شتاب قائم :

$$\begin{aligned} \ln(A_V) = & \ln(A_H) - 1/58 - 0/10 M - 1/5 \ln[R_{SEIS} + 0/079 \exp(0/661 M)] \\ & + 1/89 \ln[R_{SEIS} + 0/361 \exp(0/576 M)] - 0/11 F + \varepsilon_4 \end{aligned}$$

۵- سرعت قائم :

$$\begin{aligned} \ln(V_V) = & \ln(V_H) - 2/15 + 0/07 M - 1/24 \ln[R_{SEIS} + 0/00394 \exp(1/17 M)] \\ & + 1/44 \ln[R_{SEIS} + 0/0203 \exp(0/958 M)] + 0/10 F \\ & + 0/46 \tanh[2/68 D] - 0/53 \tanh(0/47 D) + \varepsilon_5 \end{aligned}$$

۶- طیف پاسخ شبیه شتاب قائم (پریود ۰/۰۵ تا ۴/۰ ثانیه) :

$$\begin{aligned} \ln(SA_V) = & \ln(SA_H) + C_1 - 0/10 M + C_2 \tanh[0/71(M - 4/V)] \\ & + C_3 \tanh[0/66(M - 4/V)] - 1/5 \ln[R_{SEIS} + 0/071 \exp(0/661 M)] \\ & + 1/89 [R_{SEIS} + 0/361 \exp(0/576 M)] - 0/11 F + C_4 \tanh(0/51 D) + \\ & C_5 \tanh(0/57 D) + \varepsilon_6 \end{aligned}$$

۷- تعریف نمادهای بکار برده شده در روابط :

A_H و A_V : بیشینه شتاب افقی و قائم

S_{AV} و S_{AH} : طیف پاسخ شبیه شتاب افقی و قائم برای میرابی ۰/۵

V_V و V_H : بیشینه سرعت افقی و قائم

M_w : بزرگای گشتاوری

R_{SEIS} : نزدیکترین فاصله از سطح گسیختگی لرزه زا

که می‌توان آن را به وسیله رابطه زیر محاسبه نمود.

$$d_{SEIS} = \frac{1}{2} [H_{BOT} - H_{TOP} - W \sin(\alpha)] + H_{TOP} \quad \text{اگر } d_{seis} \geq H_{Top}$$

$$d_{SEIS} = H_{TOP} \quad \text{در غیر این صورت:}$$

که در آن W پهنه‌ای گسیختگی است که می‌توان آن را به وسیله رابطه زیر ارائه شده توسط ولز - کاپراسمیت محاسبه نمود.

$$\log W = -1/0.1 + 0/32 M_W$$

F : برای نوع گسلش (0° برای امتداد لغز، 1° غیره)

S_{SR} : ضریب ساختگاه (سنگ نرم)

S_{HR} : ضریب ساختگاه (سنگ سخت)

D : عمق تا سنگ بستر بر حسب کیلومتر

$$F_V(D) = 0 \quad \text{اگر: } D \geq 1 \text{ کیلومتر}$$

$$F_V(D) = -0/3(1 - S_{HR})(1 - D) - 0/15(1 - D) S_{SR} \quad \text{اگر: } D < 1 \text{ کیلومتر}$$

$$F_{SA}(D) = 0 \quad \text{اگر: } D \geq 1 \text{ کیلومتر}$$

$$F_{SA}(D) = C_2(1 - S_{HR})(1 - D) + 0/5 C_2(1 - D) S_{SR} \quad \text{اگر: } D < 1 \text{ کیلومتر}$$

ε : خطای تصادفی با میانگین صفر و انحراف معیار معادل با خطای محاسبه $\ln(A_H)$ که بصورت زیرداده شده است:

$$\varepsilon_1 : A_H < 0/068 g \Rightarrow \sigma A_H = 0/055$$

$$0/068 g \leq A_H \leq 0/21 g \Rightarrow \sigma A_H = 0/173 - 0/14 \ln(A_H)$$

$$A_H > 0/21 g \Rightarrow \sigma A_H = 0/39$$

$$\varepsilon_2 : \sigma_{VH} = (\sigma_{AH}^2 + 0/06^2)^{1/2}$$

$$\varepsilon_3 : \sigma_{SAH} = (\sigma_{AH}^2 + 0/27^2)^{1/2}$$

$$\varepsilon_4 : \sigma_{AV} = (\sigma_{AH}^2 + 0/36^2)^{1/2}$$

$$\varepsilon_5 : \sigma_{VV} = (\sigma_{VH}^2 + 0/30^2)^{1/2}$$

$$\varepsilon_6 : \sigma_{SAV} = (\sigma_{SAH}^2 + 0/39^2)^{1/2}$$

۵-۴ مدل کاهیدگی صدیق، چنگ، اگان، مکدیسی و یانگز (۱۹۹۷)

Sadigh, K., Chang, C.-Y., Egan, J.A., Makdisi, F., Youngs, R.R., 1997

این مقاله با عنوان و مرجع مورد استفاده زیر در سال ۱۹۹۷ ارائه شده است:

"Attenuation Relationships for Shallow Crustal Earthquakes Based on California Strong Motion Data"

Reference : Seismological Research Letters, Vol. 68 , No. 1, Jan/Feb 1997 , pp 180-189

خلاصه: در این مقاله روابط کاهیدگی برای محاسبه بیشینه شتاب و طیف پاسخ شتاب در مورد زمینلرزه‌های کم عمق ارائه شده است. روابط بر مبنای داده‌های شتابنگاشتی (در اولویت اول) از زمینلرزه‌های کالیفرنیا می‌باشد. روابط برای زمینلرزه‌هایی با نوع گسلش امتداد لغز و معکوس، شرایط ساختگاه، سنگ و رسوبات عمیق خاک سفت داده شده است.

محدودیتها: بازه بزرگای $M < 4$ و فاصله بیشتر از ۱۰۰ کیلومتر

روابط :

۱- بیشینه شتاب افقی و طیف پاسخ شتاب (میرایی ۰/۵٪) برای ساختگاههای سنگی

$$\ln Y = C_1 + C_2 M + C_3 (\lambda/5 - M)^{2/5} + C_4 \ln[r_{rup} + \exp(C_5 + C_6 M)] + C_7 \ln(r_{rup} + 2) \pm \text{Sigma ln}(Y)$$

۲- بیشینه شتاب افقی و طیف پاسخ شتاب (میرایی ۰/۵٪) برای ساختگاههای با خاک عمیق

$$\ln Y = C_1 + C_2 M + C_3 \ln(r_{rup} + C_4 \exp(C_5 M) + C_6 + C_7 (\lambda/5 - M)^{2/5}) \pm \text{Sigma ln}(Y)$$

۳- تعریف نمادهای بکار برده شده در روابط :

Y: بیشینه مقادیر شتاب یا طیف پاسخ بر حسب g

M: بزرگای گشتاوری M_w

r_{rup} : نزدیکترین فاصله از سطح گسیختگی

C_1 : ضریب مربوط به سازوکار گسل

: انحراف از معیار \ln (بر حسب PGA و همینطور بزرگا داده شده است)

۶-۴ مدل اسپودیج و همکاران (۱۹۹۷)

Spudich, P. et al, 1997

این مقاله با عنوان و مرجع مورد استفاده زیر در سال ۱۹۹۷ ارائه شده است:

"SEA۹۶ - A New Predictive Relation for Earthquake Ground Motions in Extensional Tectonic Regimes"

Reference : Seismological Research Letters, Vol. 68, No. 1, Jan/Feb 1997 , pp ۱۹۰-۱۹۸

خلاصه: در این مقاله روابط بیشینه مقادیر شتاب افقی و طیف پاسخ شبه سرعت (میرایی٪/۵) ارائه شده است که برای جنبش زمین ناشی از زمینلرزه در رژیمهای زمین‌ساختی کششی مناسب می‌باشد. این مقاله که به عنوان SEA-۹۶ مشخص شده است در اصل بر مبنای مطالعات اسپودیج و همکاران در سال ۱۹۹۶ بوده است که قسمتی از مطالعات مربوط به طرح برآورده خطر برای ساختگاهی در نوادا بمنظور دفع زباله‌های هسته‌ای می‌باشد.

محدودیتها: در مقاله توصیه شده است که از این روابط در بازه بزرگای $M < 5 < M < 7/7$ و فاصله بین صفر تا ۷۰ کیلومتر برای زمینلرزه‌هایی در مناطق کششی استفاده شود.

توضیح: مناطق کششی، مناطقی هستند که در آنها لیتوسفر بصورت ناحیه‌ای گسترش یافته است.

روابط:

۱- بیشینه شتاب افقی (g) و طیف پاسخ شبه سرعت (cm/s) برای مؤلفه میانگین افقی (میرایی٪/۵) :

$$\log_{10} Y = b_1 + b_2(M - 6) + b_3(M - 6)^2 + b_4 R + b_5 \log_{10} R + b_6 \tau \pm \sigma \log(Y)$$

۲- تعریف نمادهای بکار برده شده در روابط :

Y: بیشینه شتاب افقی و یا طیف پاسخ شبه سرعت

R: فاصله و برابر است با: $R = (r_{jb}^2 + h^2)^{1/2}$

r_{jb} : نزدیکترین فاصله افقی از تصویر قائم گسیختگی

h: ضریب ثابت بدست آمده از روش برگشتی

τ : ضریب ساختگاه که برای سنگ برابر صفر و

برای خاک برابر با ۱ است

$\sigma \log Y$: انحراف معیار محاسبه Y و برابر است با: $(\sigma_1^2 + \sigma_2^2)^{1/2}$

۷-۴ مدل کاهیدگی یانگز و همکاران (۱۹۹۷)

Youngs, R.R., Chiou, S.-J., Silva W.J., Humphrey, J.R., 1997

این مقاله با عنوان و مرجع مورد استفاده زیر در سال ۱۹۹۷ ارائه شده است:

"Strong Ground Motion Attenuation Relationships for Subduction Zone Earthquakes"

Reference : Seismological Research Letters, Vol. 68, No. 1, Jan/Feb 1997 , pp 58-73

خلاصه: در این مقاله روابط کاهیدگی بمنظور محاسبه بیشینه مقادیر شتاب و طیف پاسخ شتاب افقی برای زمینلرزه‌های رویداده در مناطق فرورانشی فصل مشترک^۱ و درون ورقه‌ای^۲ برای سنگ و خاک داده شده است. روابط بوسیله تحلیل برگشتی و استفاده از یک مدل برگشتی متأثر اتفاقی انجام شده است. با این مطالعات مشخص شد که آهنگ کاهیدگی بیشینه جنبش نیرومند زمین برای زمینلرزه‌ها در مناطق فرورانشی کمتر از زمینلرزه‌های رویداده کم‌عمق پوسته‌ای در نواحی فعال زمین‌ساختی می‌باشد. این اختلاف در درجه اول در زمینلرزه‌های بزرگ مشخص می‌باشد. بیشینه جنبش نیرومند زمین با افزایش عمق زمینلرزه بیشتر شده و زمینلرزه‌های درون ورقه‌ای مقادیری در حدود ۵° درصد بیشتر از زمینلرزه‌های فصل مشترکی بوجود می‌آورند.

محدودیتها: زمینلرزه‌ایی با بزرگای گشتاوری بزرگتر از M5 و فواصل بین ۱۰ تا ۵۰۰ کیلومتر

توضیح: این مقاله روابطی را برای زمینلرزه‌های مناطق فرورانشی ارائه می‌دهد. دو نوع زمینلرزه برای مناطق فرورانشی در نظر گرفته شده است، زمینلرزه‌های فصل مشترک و درون ورقه‌ای زمینلرزه‌های فصل مشترک، رویدادهای راندگیهای با زاویه کم هستند که در فصل مشترک مابین صفحات فرا رانده شده و فرورانده شده اتفاق می‌افتد. زمینلرزه‌های درون ورقه‌ای در طول صفحات فرورانده شده اقیانوسی که بصورت مشخص رویدادهای گسلیده نرمال با زاویه زیاد بوده است و نتیجه کشش شبیب به سوی پائین در صفحات فرورانش می‌باشند.

روابط:

۱- بیشینه شتاب و طیف پاسخ شتاب (میرایی ۰.۵٪) مؤلفه افقی برای ساختگاه سنگی :

$$\ln(Y) = 0.2418 + 1.414 M + C_1 + C_2(10 - M)^{\gamma} + C_3 \ln[r_{rup} + 1.7818 \exp(-0.554 M)] \\ + 0.00607 H + 0.3846 Z_T \pm Sd$$

$$Sd = C_4 + C_5 M$$

۲- بیشینه مقادیر شتاب و طیف پاسخ شتاب (میرایی٪/۵) مؤلفه افقی برای ساختگاه خاکی :

$$\ln(Y) = -0.6687 + 1/438 M + C_1 + C_2(10 - M)^3 + C_3 \ln[r_{rup} + 1.097 \exp(-0.617 M)]$$

$$+ 0.00648 H + 0.3643 Z_T \pm Sd$$

$$Sd = C_4 + C_5 M$$

۳- تعریف نمادهای بکار برده شده در روابط :

Y: بیشینه شتاب و یا طیف پاسخ شبیه شتاب افقی

M: بزرگای گشتاوری M_w

r_{rup} : نزدیکترین فاصله به گسیختگی (کیلومتر)

H: عمق به کیلومتر

Z_T: نوع چشم (فصل مشترکی °)

(درون ورقه‌ای ۱)

۸-۴ مدل کاهیدگی تورو، آبراهامسون و اشنایدر (۱۹۹۷)

Toro, G.R., Abrahamson, N.A., Schneider, J.F., 1997

این مقاله با عنوان و مرجع مورد استفاده زیر در سال ۱۹۹۷ ارائه شده است:

"Model of Strong Ground Motions from Earthquakes in Central and Eastern North America : Best Estimates and Uncertainties"

Reference : Seismological Research letters, Vol. 68, No. 1, Jan/Feb 1997 , pp 41-57

خلاصه: این مدل کاهیدگی جنبش زمین برای ساختگاههای سنگی در مرکز و شمال شرقی آمریکا براساس یک مدل تصادفی آماری جنبش زمین بدست آمده است که در آن چهار مجموعه از روابط کاهیدگی (دو ناحیه مختلف پوسته‌ای و در دو مقیاس مختلف بزرگا) حاصل شد. در این روابط عدم یقین‌ها همانطورکه برای مدل جنبش زمین در نظر گرفته شد برای مقادیر هر کدام از پارامترها نیز محاسبه گردید. در مقایسه با داده‌ها و همانطور سایر روابط ارائه شده برای این منطقه نتایج قابل قبول و مشابه بود.

محدودیتها: بازه تغییرات بزرگای گشتاوری $8 < M < 5$ و فاصله ۱ تا ۵۰۰ کیلومتر است (مناسبترین فاصله ۱ تا ۱۰۰ کیلومتر می‌باشد)

روابط :

۱- بیشینه مقادیر شتاب زمین (بر حسب g) و طیف شتاب (بر حسب g) برای مؤلفه افقی :

$$\ln(Y) = C_1 + C_2(M - \epsilon) + C_3(M - \epsilon)^2 - C_4 \ln R_M - (C_5 - C_4) \max [\ln(\frac{R_M}{100}), 0] - C_6 R_M + \epsilon_e + \epsilon_a$$

۲- تعریف نمادهای بکار برده شده در روابط :

Y : بیشینه مقادیر شتاب زمین یا طیف شتاب

R_M : فاصله تعریف شده بصورت $(R_{jb}^2 + C_V^2)^{1/2}$

R_{jb} : نزدیکترین فاصله افقی از تصویر قائم گسیختگی

C₁ : ضرایب ثابت که با حل تابع فوق بدست می آیند.

M : بزرگا بر حسب بزرگای (M_{Lg}) و یا بزرگای گشتاوری (M_w)

ϵ_a و ϵ_e : عدم یقین مریبوط به برآورد رابطه جنبش زمین که به بزرگا و فاصله بستگی داشته و انحراف معیار آنها برای فرکانس‌های متفاوت و بر حسب بزرگا و فاصله در جداول داده شده است.

توضیح : بطورکلی ضرایب رابطه کاهیدگی در چهار حالت بر حسب بزرگای گشتاوری M_w یا بزرگای M_{Lg} و برای نواحی پوسته‌ای میان قاره‌ای و خلیج داده شده است.

۹-۴ مدل آتکینسون و بوئر (۱۹۹۷)

Atkinson, G.M., Boore, D.M., 1997

این مقاله با عنوان و مرجع مورد استفاده زیر در سال ۱۹۹۷ ارائه شده است :

"Stochastic Point-Source Modeling of Ground Motions in the Cascadia Region"

Reference : Seismological Research Letters, Vol. 68, No. 1, Jan/Feb 1997 , pp 74–85

خلاصه : مقاله کاربرد یک مدل آماری برای یک ارزیابی مقدماتی از روابط جنبش زمین در مورد ساختگاههای سنگی ناحیه کاسکادیا می‌باشد. پارامترهای مدل از آنالیز تجربی داده‌های لرزه‌نگاشتی ناحیه کاسکادیا بدست آمده است. مدل براساس چشم‌های نقطه‌ای برون^۱ است که توسط پارامتری که معادل تنش با ۵۰° بار مشخص شده است.

فرضیات مدل با داده‌های جنبش نیرومند زمین از ناحیه کاسکادیا و داده‌های حاصل از زمینلرزه‌های بزرگ در نواحی دیگر فروزانده شده مقایسه گردید. شبیه‌سازی چشم‌های نقطه‌ای با مشاهدات رویدادهای متوسط ($M < 7$) در ناحیه کاسکادیا همخوانی داشت. اما در مورد رویدادهای خیلی بزرگ ($M \geq 7/5$) در نواحی فروزانده شده نتایج نشانده‌نده کاهش شدیدتر پیش‌بینی نسبت به رویدادهای مشاهده شده در دیگر نواحی بود (در نواحی نزدیک به چشم‌های زمینلرزه پیش‌بینی بیش از اندازه و در فواصل خیلی دور پیش‌بینی کمتر از اندازه بوده است).

محدودیتها: هرچند که به دلیل مشاهده اختلافاتی برای بزرگ‌آهای بالا نیاز به مطالعات بیشتر در مدل‌سازی کاهیدگی منطقه ضروری می‌باشد اما در حال حاضر روابط مقدماتی ارائه شده برای پیش‌بینی رویدادهای با بزرگ‌آی کوچک‌تر از $M < 7$ و فواصل کمتر از ۱۰۰ کیلومتر تخمین مناسب و محافظه‌کارانه‌ای را بدست می‌دهد.

روابط:

۱- بیشینه شتاب (g)، سرعت (cm/s) و طیف پاسخ شتاب (g)

$$\ln Y = C_1 + C_2 (M - 6) + C_3 (M - 6)^2 - \ln r_{hypo} - C_4 r_{hypo}$$

۲- تعریف نمادهای بکار برده شده در روابط:

Y: بیشینه شتاب، سرعت و طیف پاسخ شتاب

C_1 تا C_4 : ضرایب ثابت رابطه

M: بزرگ‌آی گشتاوری (M_W)

r_{hypo} : فاصله از کانون زمینلرزه

جدول ۳- چکیده‌ای از ویژگیهای روابط کاهیدگی بهنگام شده جهان

توضیحات	نوع ساختگاه	تعریف فاصله	نوع بزرگا (M)	نوع گسلش (F)	پارامترهای بکار برده شده در مدل	طیف پاسخ	بیشینه پارامترهای جنبش زمین	حدوده فاصله	حدوده بزرگا	رابطه ارائه شده برای	تاریخ	نام مدل کاهیدگی و مرجع
برای زمینلرزه‌های کم عمق	سنگی، خاکی کم عمق، خاکی عمیق	$r^2 = r_{rup}^2 + C_4^2$ $C_4 = \text{ضریب ثابت}$	MW	معکوس و معکوس مایل	M,R,F,S,H W	PSA - H			$M > = 6/0$	تمام دنیا	۱۹۹۷	۱-۴-آبراهامسون و سیلو
برای مناطق فعال اروپا و خاورمیانه	سنگی، خاکی سفت و خاکی نرم	$r^2 = d^2 + h_0^2$ $h_0 = \text{ضریب ثابت}$	Ms		M,r,S	PSA-H,V	PGA-H,V	$Dis \leq 200$ (km)	$M 4/0-7/6$	اروپا و خاورمیانه	۱۹۹۶	۲-۴-آمبرسیز، سیپسون و بومر
برای زمینلرزه‌های کم عمق	دسته‌بندی سرعت برشی S	$r^2 = r_{jb}^2 + h^2$ $h = \text{ضریب ثابت}$	MW	امتداد لغز، معکوس لغزوغیره	M,rjb,F	PSA-H	PGA-H	$Dis \leq 80$ (km)	$M 5/5-7/5$	شمال غربی آمریکا	۱۹۹۷	۳-۴-بوروجوینر و فومال
برای نواحی فعال زمینساختی در تمام دنیا	سنگی سخت و نرم و خاکی سفت	R=R SEIS	MW	امتداد لغز، معکوس، رانده وغیره	M,R seis,D,F,S	PSA-H,V	PGA-H,V PGV-H,V	$Dis \leq 60$ (km)	$M > 5/0$	تمام دنیا	۱۹۹۷	۴-۴-کپل
برای زمینلرزه‌های کم عمق پوسته	سنگی خاکی عمیق	R=r rup	MW	امتداد لغز، معکوس رانده	M,R rup,F	PSA-H	PGA-H	$Dis \leq 100$ (km)	$M 4/0-8/0$	تمام دنیا	۱۹۹۷	۵-۴-صدیق و همکاران
برای مناطق زمینساختی کششی	سنگی خاکی	$R^2 = r_{jb}^2 + h^2$ $h = \text{ضریب ثابت}$	MW		M,R	PSV-H,V	PGA-H	$Dis \leq 105$ (km)	$M > 5/0$	تمام دنیا	۱۹۹۷	۶-۴-اسپودیج و همکاران
برای مناطق فرورانشی	سنگی، خاکی عمیق و خاکی کم عمق سفت	R=r rup $h = \text{ارتفاع کانونی}$	MW	فصل مشترکی درونورقه‌ای	M,R rup,H,Zt Zds,Zss	PSA-H	PGA-H	$Dis 10-500$ (km)	$M > 5/0$	تمام دنیا	۱۹۹۷	۷-۴-یانگز و همکاران
برای زمینلرزه‌های کم عمق پوسته	سنگی	$R_M^2 = r_{jb}^2 + C_7^2$ $C_7 = \text{ضریب ثابت}$	MW MLg		M,R M	PSA-H	PGA-H	$Dis 1-500$ (km)	$M 5/0-8/0$	مناطق مرکزی و شمال شرقی آمریکا	۱۹۹۷	۸-۴-تورو و همکاران
برای زمینلرزه‌های کم عمق پوسته	سنگی	R=R SEIS	MW		M,Rhypo, Frequency	PSA-H	PGA-H PGV-H	$Dis < 100$ km $f_d 5-50$ km		ناحیه کاسکادایا	۱۹۹۷	۹-۴-اتکینسون و بور

۵- کاربرد مدل‌های کاهیدگی و دسته‌بندی آنها

۱-۵ براورد دقیق پارامترهای جنبش نیرومند زمین

به منظور براورد صحیح پارامترهای پذیرفتی جنبش نیرومند زمین ناشی از وقوع زمینلرزه، تعیین بزرگا و فاصله آن رویداد از ساختگاه موردنظر از اطلاعات اولیه و پایه در ارزیابی خطر زمینلرزه می‌باشد. از طرف دیگر تجارب کسب شده از وقوع زمینلرزه‌ها و رفتار سازه‌ها در مقابل آنها، ارزیابی مجدد معیارهای طراحی لرزه‌ای سازه‌های مهندسی با اهمیت و همچنین تصحیح نحوه براورد پارامترهای پذیرفتی جنبش نیرومند زمین پس از وقوع هر زمینلرزه ضروری می‌باشد. تاکنون مناسبتین و فرآگیرترین نحوه اینگونه براوردها بکارگیری معادلات و روابط کاهیدگی می‌باشد که در ساده‌ترین شکل آن، جنبش نیرومند زمین بر حسب تابعی از بزرگا و فاصله بیان می‌شود.

بطورکلی روابط کاهیدگی جنبش نیرومند زمین به دو صورت تجربی و نظری بdst می‌آیند. در روش تجربی از نگاشتهای رویداده جنبش نیرومند زمین (زمینلرزه‌های ثبت شده) و در روش نظری از مدل‌های لرزه شناختی برای ایجاد مصنوعی جنبش نیرومند زمین (با مدل نمودن خصوصیات چشممه، ساختگاه و ...) استفاده می‌شود. در واقع این دو روش مکمل یکدیگر می‌باشند. زیرا در روش‌های تجربی داده‌ها را با استفاده از تابعی که از روش‌های نظری حاصل می‌شود برآش می‌دهند و در روش‌های نظری داده‌های تجربی برای تشخیص و مدل کردن پارامترها بکار گرفته می‌شوند.

مهمترین پارامترهای جنبش نیرومند زمین که در ارزیابی‌های خطر زمینلرزه موردنظر بوده و دارای کاربرد مهندسی می‌باشند، شامل بیشینه مقادیر شتاب، سرعت، تغییر مکان و همچنین طیف پاسخ شتاب یا سرعت در نسبت میرایی ۵٪، برای مؤلفه‌های افقی و قائم بوده و در روابط کاهیدگی با درنظر گرفتن شرایطی قابل محاسبه است.

۲-۵ ارائه دسته‌بندی‌ای برای انتخاب مناسب‌تر مدل‌های کاهیدگی مختلف

۱-۲-۵ پارامترهای در نظر گرفته شده در مدل‌های کاهیدگی

از آنجا که در نواحی مختلف جهان، زمینلرزه‌ها با ویژگیها و در شرایط مختلفی بوقوع می‌پیوندند، اولین گام ارائه یک تقسیم‌بندی کلی براساس شرایط منطقه‌ای زمین‌ساختی زمینلرزه‌ها می‌باشد. براین اساس سه دسته مهم در روابط ارائه شده به شرح زیر مشاهده می‌گردد:

- ۱- زمینلرزه‌های کم عمق پوسته رویداده در نواحی فعال زمین‌ساختی
- ۲- زمینلرزه‌های کم عمق پوسته رویداده در نواحی پایدار زمین‌ساختی

۳- زمینلرزه‌های رویداده در نواحی فرورانشی^۱
جدول شماره ۳ براساس این دسته‌بندی ارائه شده است.

لذا محققینی که می‌خواهند برای نواحی خاص یا کل جهان روابط کاهیدگی ارائه دهند در اولین قدم می‌بایست با توجه به شرایط زمینساختی مورد نظر خود نسبت به جمع آوری و انتخاب نگاشتهای مربوط به زمینلرزه‌ها اقدام نمایند.

در مراحل بعد پارامترهای مهم دیگری مطرح می‌باشند که می‌بایست به روشنی تعریف و برای هر زمینلرزه تشخیص و تعیین شوند و در محاسبات آماری، مورد تجزیه و تحلیل قرار گیرند. مهمترین این پارامترها به شرح زیر می‌باشند.

- بزرگاً: امروزه مورد توجه ترین بزرگاًی اندازه‌گیری شده، بزرگاًی گشتاوری می‌باشد. زیرا مستقیماً به ممان لرزه‌ای زمینلرزه وابسته است.

- فاصله: این پارامتر مشخص‌کننده فاصله چشم‌های لرزه‌زا نسبت به ساختگاه می‌باشد و از سوی محققین مختلف فاصله‌های مختلفی تعریف شده که مهمترین آنها به شرح زیر است.

$$\text{نzdیکترین فاصله افقی به تصویر قائم گسیختگی} = r_{jb}$$

$$\text{نzdیکترین فاصله به سطح گسیختگی} = r_{rup}$$

$$\text{نzdیکترین فاصله به سطح گسیختگی لرزه‌زا} = r_{seis}$$

$$\text{فاصله از کانون زمینلرزه} = r_{hypo}$$

- شرایط ساختگاه: پارامتری که مشخص‌کننده شرایط زمین‌شناختی ساختگاه بوده و در دسته‌بندی آن از تقسیم‌بندی‌های کیفی نظیر جنس لایه‌های تشکیل‌دهنده تا کمی بر مبنای سرعت امواج بر Shi لایه‌های سطحی استفاده می‌گردد.

سازوکار گسل: پارامتر مشخص‌کننده نوع گسل‌ش و سازوکار غالب گسل ایجادکننده زمینلرزه، نظیر راندگی، امتداد لغز یا معکوس و غیره

عمق رسوبات: این پارامتر مشخص‌کننده ضخامت رسوبات تا سنگ بستر بوده و بخصوص در محاسبات مربوط به برآورد طیف پاسخ اثر دارد.

با استفاده از روشهای آماری مختلف امکان مدل‌نمودن این پارامترها و هرگونه پارامتر دیگری که اهمیت موردي آن مورد نیاز باشد ممکن خواهد بود. مدل‌های کاهیدگی با پارامترهای گوناگون که از سوی محققین ارائه شده گویای این مسئله است. براساس روابط معتبر ارائه شده از سوی محققین مختلف که در این مطالعه شرحی از مهمترین آنها آورده شده است دسته‌بندی‌ای به منظور انتخاب مناسبترین رابطه کاهیدگی (که می‌بایست تا حد امکان مشابه با شرایط ساختگاه مورد مطالعه باشد) در جدولهای ۲-۳ و ۳-۴ آورده شده است.

جدول شماره ۳-۱- تقسیم‌بندی مدل‌های کاهیدگی براساس نواحی زمینساختی مکان رویداد زمینلرزه‌ها

نام مدل کاهیدگی	شرایط منطقه‌ای زمینساختی زمینلرزه‌ها
آبراهامسون و سیلو (۱۹۹۷)	زمینلرزه‌های کم عمق پوسته رویداده در نواحی فعال زمینساختی
آمبرسیز (۱۹۹۶)	زمینلرزه‌های کم عمق پوسته رویداده در نواحی فعال زمینساختی
بور و جوینر و فومال (۱۹۹۷)	زمینلرزه‌های کم عمق پوسته رویداده در نواحی فعال زمینساختی
کمپل (۱۹۹۷)	زمینلرزه‌های کم عمق پوسته رویداده در نواحی فعال زمینساختی
صدیق و همکاران (۱۹۹۷)	زمینلرزه‌های کم عمق پوسته رویداده در نواحی فعال زمینساختی
اسپودیچ و همکاران (۱۹۹۷)	زمینلرزه‌های کم عمق پوسته رویداده در نواحی فعال زمینساختی
یانگز و همکاران (۱۹۹۷)	زمینلرزه‌های رویداده در نواحی فروزانشی
تورو و همکاران (۱۹۹۷)	زمینلرزه‌های کم عمق پوسته رویداده در نواحی پایدار زمینساختی
اتکینسون و بور (۱۹۹۷)	زمینلرزه‌های کم عمق پوسته رویداده در نواحی پایدار زمینساختی

جدول شماره ۳-۲- بکارگیری زمینلرزه‌های منجیل و طبس در روابط کاهیدگی

نام مدل کاهیدگی	زمینلرزه طبس (M7.4)	زمینلرزه منجیل (M7.4)	1990/6/20(M7.4)
آبراهامسون و سیلو (۱۹۹۷)	×	-	-
آمبرسیز (۱۹۹۶)	-	×	×
بور و جوینر و فومال (۱۹۹۷)	-	-	-
کمپل (۱۹۹۷)	-	×	×
صدیق و همکاران (۱۹۹۷)	-	×	×
اسپودیچ و همکاران (۱۹۹۷)	-	×	×
یانگز و همکاران (۱۹۹۷)	-	-	-
تورو و همکاران (۱۹۹۷)	-	-	-
اتکینسون و بور (۱۹۹۷)	-	-	-

جدول شماره ۳-۳- تقسیم‌بندی مدل‌های کاهیدگی براساس پارامترهای مدل شده و پارامترهای ارائه شده جنبش زمین

نام مدل کاهیدگی	پارامترهای جنبش زمین	مؤلفه‌های بکار برده شده	بازه زمانی (ثانیه)	پارامترهای مدل شده	شرایط ساختگاه
آبراهامسون و سیلووا (۱۹۹۷)	PSA	Ave H	0.0 - 5.0	M_W , r_{rup} , F1, HW	سنگی، خاکی عمیق
آمبرسیز (۱۹۹۶)	PSA, PGA	Ave H, V	0.0 - 2.0	M_S , r_{hypo}	سنگی، خاکی سفت و نرم
بور و چوینر و فومال (۱۹۹۷)	PSA, PGA	Ave H	0.0 - 2.0	M_W , r_{jb} , F2	سرعت امواج برشی
کمپل (۱۹۹۷)	PSA, PGA, PGV	Ave H, V	0.0 - 4.0	M_W , r_{seis} , F2,D	سنگی سخت و نرم، خاکی
صدیق و همکاران (۱۹۹۷)	PSA, PGA	Ave H	0.0 - 4.0	M_W , or r_{rup} , F1, HW	سنگی، خاکی عمیق
اسپودیچ و همکاران (۱۹۹۷)	PSV, PGA	Ave H	0.0 - 2.0	M_W , r_{jb}	سنگی، خاکی
یانگز و همکاران (۱۹۹۷)	PSA, PGA	Ave H	0.0 - 4.0(3.0 rock site)	M_W , r_{rup} , F3,H	سنگی، خاکی
تورو و همکاران (۱۹۹۷)	PSA, PGA	Ave H	0.0 - 2.0	M_W (or Mlg), r_{jb}	سنگی
اتکینسون و بور (۱۹۹۷)	PSA, PGA, PGV	Ave H	0.0 - 2.0	M_W , r_{hypo}	سنگی، خاکی (ضرایب تقویت)

۲-۲-۵ عدم یقین در محاسبات

در محاسبات مربوط به برآورد پارامترهای جنبش نیرومند زمین علاوه بر مقدار میانه، عدم یقین یا انحراف معیار مربوط به اینگونه محاسبات نیز امروزه در ارزیابی‌های خطر زمینلرزه نقش بسیار مهمی دارد. در بسیاری از مدلها انحراف معیار وابسته به بزرگاً می‌باشد بطوریکه رویدادهایی با بزرگای بیشتر دارای انحراف معیار کمتر نسبت به رویدادهای کوچکتر می‌باشند. کمپیل در سال ۱۹۹۷ برای محاسبه انحراف معیار علاوه بر بزرگاً، تابعی وابسته به شتاب افقی را نیز در نظر گرفته است. در نمودار شماره ۱ انحراف معیار چند مدل برای مقادیر بیشینه شتاب به عنوان تابعی از بزرگاً آورده شده است. در نمودار شماره ۲ نیز انحراف معیار برای طیف پاسخ شتاب نشان داده شده است. در اغلب مدلها، با افزایش پریود انحراف معیار نیز بیشتر می‌شود.

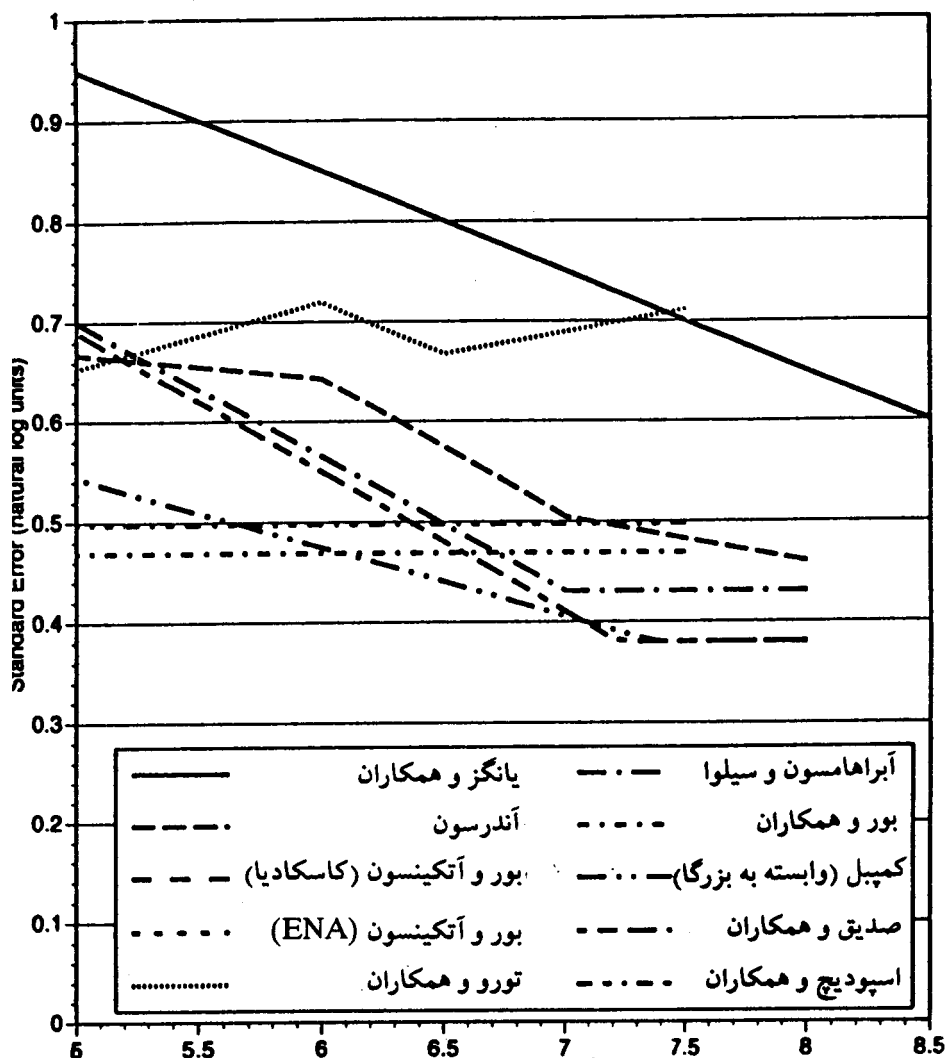
۳-۲-۵ روش برآش داده‌های جنبش نیرومند زمین

در گذشته به منظور برآش داده‌های زمینلرزه‌ها از روش‌های معمول کمترین مربعات و حصول مدل‌های کاهیدگی جنبش نیرومند زمین استفاده می‌گردید. با افزایش اطلاعات در علم لرزه‌شناسی و افزونی داده‌های مربوط به زمینلرزه‌ها نقاط ضعف این روش که بخصوص ناشی از عدم توانایی آن در توزیع مناسب اثر بزرگاً و فاصله می‌باشد آشکار گردید. برای مثال فوکوشیما و تاناکا در سال ۱۹۹۰ نشان دادند که روش معمول یک مرحله‌ای کمترین مربعات دارای خطاهای مهمی در برآورد بیشینه مقادیر شتاب افقی زمینلرزه‌های ژاپن می‌باشد. لذا از سوی محققین مختلف روش‌های متفاوتی به منظور برآش هرچه بهتر داده‌ها ارائه شده است که معتبرترین آنها به شرح زیر می‌باشد:

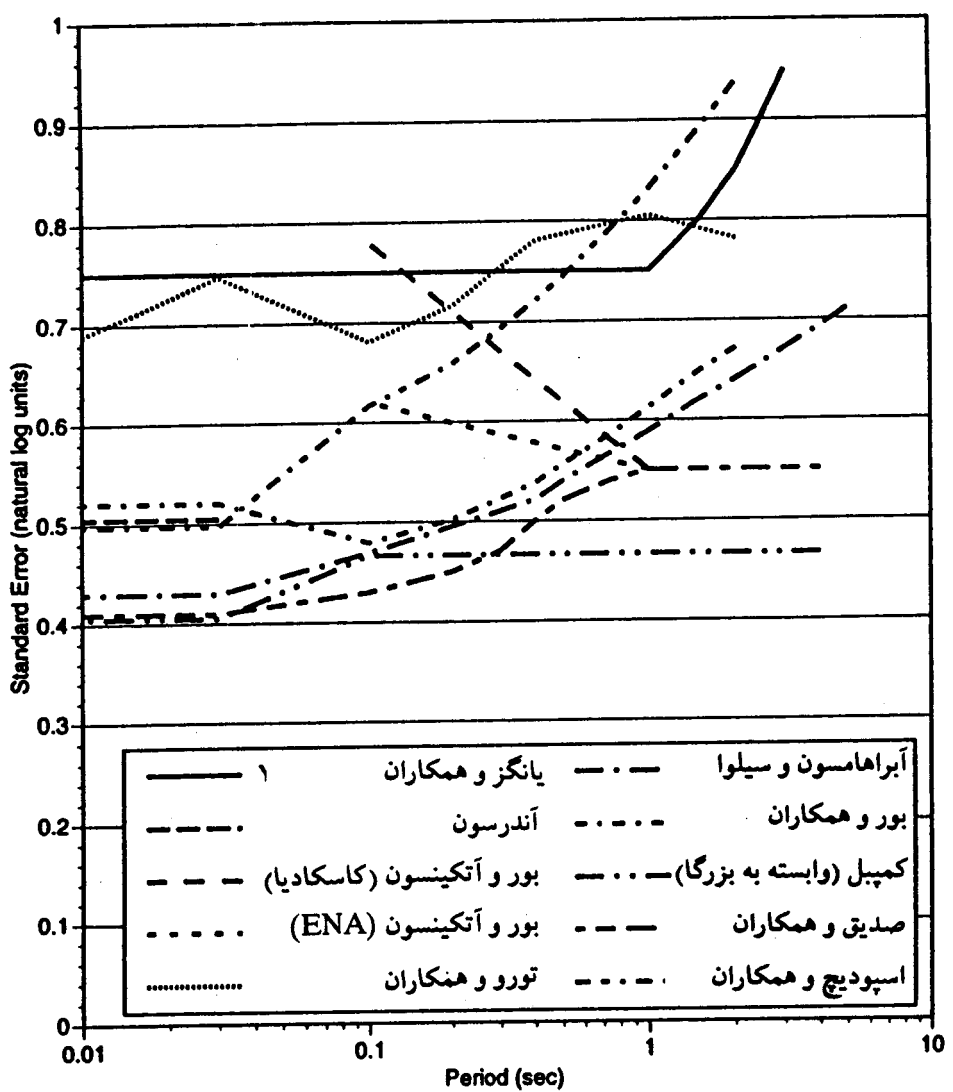
کمپیل در سالهای ۱۹۸۱-۱۹۹۷ از روش وزنی غیرخطی کمترین مربعات^۱ برای جبران نمودن توزیع غیرخطی داده‌ها نسبت به فاصله استفاده کرده است. بور و جوینر در سالهای ۱۹۸۱-۱۹۹۷ معرفی کننده روش دو مرحله‌ای تحلیل برگشتی به منظور تشخیص و جدانمودن تأثیر بزرگاً از فاصله می‌باشند. بطوریکه در مرحله اول با استفاده از ضرایبی تأثیر فاصله و در مرحله دوم تأثیر بزرگاً مورد تجزیه و تحلیل واقع می‌شود. فوکوشیما و تاناکا در سال ۱۹۹۰ نیز از یک روش مشابه دو مرحله‌ای استفاده کردند. در هر دو این روشها برای محاسبه بیشینه مقادیر شتاب در مرحله دوم تحلیل برگشتی تنها از زمینلرزه‌هایی استفاده شد که در بیشتر از یک ایستگاه ثبت شده بودند و به هر کدام از آنها وزنی داده می‌شد. ولی در محاسبات بیشینه مقادیر سرعت و طیف پاسخ به دلیل تعداد کم زمینلرزه‌های قابل استفاده، تمامی داده‌ها در مجموعه اطلاعاتی با وزن برابر مورد استفاده قرار می‌گرفت. در سال ۱۹۸۸ توسط بور و جوینر یک روش وزنی قطری^۲ پیشنهاد و در تحلیلهای برگشتی دو مرحله‌ای مورد استفاده قرار گرفت.

1- Weighted nonlinear least - squares method

2- Diagonal Weighting scheme



نمودار ۱- مقایسه خطای مدل‌های کاهیدگی مختلف برای بیشینه شتاب
جنبیش نیرومند زمین (PGA) بر اساس بزرگای مختلف



نمودار ۲ - مقایسه طیف پاسخ شبه شتاب براساس مدل‌های مختلف طیفی

به ازای بزرگای $M_s = 7/0$ در فاصله ۲۰ کیلومتر

ماسادا و اوتاکه در سال ۱۹۹۲ یک ماتریس وزنی^۱ برای تحلیل برگشتی دو مرحله‌ای پیشنهاد کردند که با روش‌های قبلی متفاوت بود. ماتریس وزنی آنها در برگیرنده تأثیرات غیرقطري نیز بود. مدل تأثیرات تصادفی^۲ توسط بریلینگر و پرایسلر در سالهای ۱۹۸۴ و ۱۹۸۵ معرفی شد که در برگیرنده روش‌های یک مرحله‌ای پیشنه درستنمایی^۳ برای تخمین پارامترها در برآورد معادلات می‌باشد. آبراهامسون و یانگز در سال ۱۹۹۲ معرفی کننده یک الگوریتم جایگزین با منطق ریاضی محکمتر ولی با کارآیی کمتر می‌باشند.

بطورکلی هرکدام از روش‌ها اگر در جای خود به صورت درست بکار گرفته شوند می‌توانند قابل قبول باشند (نژدیکی جوابها در بیشتر روابط جدید نسبت به یکدیگر گویای این مسئله می‌باشد). روش‌های یک مرحله‌ای از نظر سادگی و زمان محاسباتی کمتر مناسب‌تر بوده ولی روش‌های دو مرحله‌ای از نظر فرضیات و کارایی بهتر می‌باشند.

1- Weighting matrix

2- Random effects model

3- One - stage maximum - likelihood methods